

Vysoká škola: VŠST Liberec Fakulta: strojní  
Katedra: strojů průmysl. dopravy Školní rok: 1983/84

## ZADÁNÍ DIPLOMOVÉ PRÁCE (PROJEKTU, UMĚLECKÉHO DÍLA, UMĚLECKÉHO VÝKONU)

pro Jiří Havlíček

obor 23-20-8 stroje a zařízení pro strojírenskou výrobu

Vedoucí katedry Vám ve smyslu nařízení vlády ČSSR č. 90/1980 Sb., o státních závěrečných zkouškách a státních rigorozních zkouškách, určuje tuto diplomovou práci:

Název tématu: Hnací mechanismus vstřikovacího čerpadla

Zásady pro vypracování: 1962 Věstník MŠK XVIII, sestř. 24 ze dne 31.8.1962 § 19 aut. z č. 115/335.

Autorské právo se řídí směrnicemi  
MŠK pro státní zkoušku č. 31  
72/62-III/2 ze dne 13. července  
1962 Věstník MŠK XVIII, sestř. 24 ze  
dne 31.8.1962 § 19 aut. z č. 115/335.

1. Proveďte základní rozbor kinematicko-dynamických poměrů u vstřikovacího čerpadla Motorpal PV 6Bg 9P; zvláštní pozornost věnujte mechanickému namáhání hlavních dílů soustavy a průběhu hnacího momentu čerpadla.
2. Posudte vliv řešení vačkového mechanismu (uspořádání, rozměry, tvar vačky) na průběh rychlosti pohybu pístku a na namáhání uzlů vačka - kladka; výpočtem, příp. podle experimentálních výsledků posudte proměnlivost průběhu dopravní vlny na počátku výtlaku.
3. Výsledky provedeného šetření zhodnotte z hlediska možnosti zvyšování jak rychlosti vstřikování paliva (rychlosť pohybu pístku, průměru pístku), tak celkové dávky paliva.
4. Při zpracování úlohy využijte dle potřeby a možností výpočetní techniky VŠST.

VYSOKÁ ŠKOLA STROJNÍ A TĚCHNICKÁ  
Ústřední knihovna  
LIBEREC 1, STUDENTSKÁ 5  
PSČ 461 17

Rozsah grafických prací: výkresové a grafické práce v rozsahu potřebném pro znázornění všech zjištěných závislostí  
Rozsah průvodní zprávy: min. 50 stran textu včetně tabulek a grafů

Seznam odborné literatury: INDRA, J.: Příslušenství spalovacích motorů,  
skripta VÚT Brno, SNTL Praha 1966

LYŠEVSKIJ, A.S.: Sistemi pitanja dizelej,  
Mašinostrojenije, Moskva 1981

Diplomové práce VŠST, SF:  
J. Chaloupka, 1970  
J. Kračmar, 1973  
J. Plachta, 1982

Vedoucí diplomové práce: Ing. Stanislav Beroun, CSc.

Konzultant: Ing. Jitka Kvapilová

Datum zadání diplomové práce: 1.12.1982

Termín odevzdání diplomové práce: 25.5.1984

L. S.

*Cervinka*  
Doc. Ing. O. Červinka, CSc.

Vedoucí katedry

*Stříž*  
Doc. RNDr. B. Stříž, CSc.

Děkan

v Liberci dne 1.12. 82

Národní přírodovědné muzeum v Praze:

"Mimořádně pestré prohlídky, kde jsem diplomem prokázal  
výpracoval docentské a použitím uvedené literatury."

v Liberci 25.5.1924

Jan Černák

Vysoká škola strojní a textilní v Liberci

nositelka Řádu práce

Fakulta strojní

Obor 23 - 20 - 8

stroje a zařízení pro strojírenskou výrobu

zaměření

stroje a zařízení pro průmyslovou dopravu

Katedra strojů průmyslové dopravy

HNACÍ MECHANISMUS VSTŘIKOVACÍHO ČERPADLA

KDS - 054

Jiří Havlíček

Vedoucí práce: Ing. Stanislav Beroun, CSc., VŠST Liberec

Konzultant: Ing. Jitka Kvapilová, VŠST Liberec

Rozsah práce a příloh

Počet stran : 64

Počet tabulek : 5

Počet obrázků : 28

Počet výkresů : -

Počet jiných příloh : 8

DT 621.431

25. května 1984

## Obsah

Úvod	1
1. Vstříkovací čerpadlo PV 6Bg 9P	5
2. Řešení kinematických veličin	7
2.1 Odvození vztahů pro výpočet kinematických veličin	7
2.1.1 Výpočet úhlu $\alpha_1$	7
2.1.2 Výpočet úhlu $\beta$	8
2.1.3 Odvození vztahů pro interval $\alpha = (0, \alpha_M)$	9
2.1.4 Odvození vztahů pro interval $\alpha = (\alpha_M, \beta)$	11
2.1.5 Výpočet úhlů $\alpha_0, \alpha_K$	13
2.2 Vliv excentricity na průběh kinematických veličin	14
2.3 Vliv průměru kladičky na průběh kin. veličin	18
2.4 Vliv tvaru vačky na průběh kinematických veličin	21
3. Řešení dynamických veličin	28
3.1 Návrh dynamického modelu	28
3.2 Matematický popis dynamického modelu	34
3.3 Výpočet tuhostí a tlumení	36
3.3.1 Výpočet tuhosti K1	36
3.3.2 Výpočet tuhosti K2	37
3.3.3 Výpočet hmotnosti M	39
3.3.4 Výpočet tlumení C1, C2	40
3.3.5 Výpočet T, KP, CS	41
4. Namáhání hlavních dílů soustavy	48
4.1 Namáhání uzlu vačka - kladička	48
4.2 Namáhání vačkového hřídele	48
4.3 Namáhání čepu kladičky	49
4.4 Namáhání zvedátka	50
4.5 Namáhání vratné pružiny	50
5. Výpočet hnacího momentu	52
6. Posouzení průběhu dopravní vlny	60
7. Závěr	63

### Seznam zkratek

a - zrychlení pistku	$\text{ms}^{-2}$
a - rychlosť zvuku v palivu	$\text{ms}^{-1}$
b - šířka kladíčky	m, mm
C1,C2,CS - součinitelé vazkého tlumení	$\text{Nm}^{-1}\text{s}$
c,c_o,c_d,c_z - rychlosť paliva	$\text{ms}^{-1}$
d - průměr pistku	m, mm
e - excentricita	m, mm
E - modul pružnosti v tahu	MPa
F - síla	N
F_n - normálová síla	N
F_t - tečná síla	N
G - modul pružnosti ve smyku	MPa
h - zdvih pistku	m, mm
K1,K2,KP - tuhosti	$\text{Nm}^{-1}$
M - hmotnost	kg
M_t - točivý moment	Nm
p,p_o,p_d,p_z - tlaky v palivu	Pa, MPa
R2,RZ,RO,RR,R - poloměry vačky	m, mm
T - třecí síla	N
v - rychlosť pistku	$\text{ms}^{-1}$
y - zdvih pistku	m, mm
$\alpha$ - úhel pootočení vačky	
$\beta$ -úhel ukončení zdvihu	
$\varepsilon$ - modul pružnosti paliva	MPa
$\omega$ - úhlová rychlosť	$\text{s}^{-1}$

Ostatní označení v textu mají místní význam a nejsou v tomto přehledu uvedena.

## Úvod:

Použití vznětových motorů jako pohonných jednotek je v současné době nezastupitelné jinými druhy pohonných jednotek. Při posuzování výhodnosti použití vznětového motoru v určitém případě je třeba přihlížet ke všem konkrétním podmínkám. O kvalitách vznětového motoru svědčí to, že v mnoha oborech je vznětový motor hospodářsky výhodný.

Hlavní oblast použití vznětových motorů představuje jejich použití v nákladních automobilech, jež slouží k dopravě materiálů a tím zabezpečují chod a rozvoj národního hospodářství. U osobních automobilů se u nás zatím vznětové motory neprosadily, i když jeho palivová ekonomie je při srovnatelných podmínkách lepší než u zážehového motoru a lépe splňuje stále přísnější požadavky na obsah škodlivin ve výfukových plynech.

Vznětový motor má rovněž výsadní postavení jako pohonná jednotka zemědělských a stavebních strojů. Rovněž se používají v železniční dopravě u lokomotiv a velkou skupinu motorů tvoří lodní motory /zpravidla pomaloběžné vysokých objemových tříd/.

Jednou z důležitých součástí vznětového motoru je vstřikovací čerpadlo, jež slouží spolu s ostatním příslušenstvím jako vstříkevací zařízení k vytváření směsi. Úkolem vstříkovacího zařízení tedy je odměřit předepsané množství paliva, dopravit ho ke vstříkovací trysce a ve správný okamžik jej rozprášit do spalovacího prostoru motoru. Činnost a seřízení vstříkovacího zařízení se projevuje na vlastnostech motoru. Značnou měrou též ovlivňuje spotřebu paliva, tedy hospodárnost provozu, dále ovlivňuje životnost motoru i vlastního čerpadla. V poslední době nabývá na významu skutečnost, že konstrukce vstříkovacího čerpadla a jeho parametry též ovlivňují obsah škodlivin ve výfukových plynech.

Vývoj vysokotlaké vstříkovací jednotky trval asi dvě desetiletí. V průběhu tohoto vývoje se objevovala různá konstrukční řešení. Současná konstrukce čerpadla pochází z roku 1926, u které je množství paliva odměřováno vhodně upraveným tvarem pístku a přepouštěcími otvory. Od této doby se konstrukce vstříkovací jednotky příliš nezměnila, nepodstatné změny se týkají detailů a konstrukčních úprav. Současnou konstrukci používá většina výrobců vstříkovacích čerpadel.

Každé vstříkovací čerpadlo se skládá z vysokotlakých vstříkovacích jednotek. Těch bývá obvykle stejný počet jako válců vznětového motoru. Na obrázku /2/ je nakreslen příčný řez touto vstříkovací jednotkou.

Pohyb pístku 3 je určen tvarem vačky 1, která působí na píst přes zvedátko s kladíčkou, která je kluzně uložena na čepu. Píst je přesně zalapován ve válci 6, který je uchycen v horní části bloku čerpadla 7. Při poloze pístku v dolní úvrati proudí palivo nad pístek plnícím otvorem 14, který propojuje plnící komoru 8 /tlak 0,1 - 0,15 MPa/ s prostorem nad pístkem. Při pohybu pístku z dolní úvrati dochází k vytlačování paliva zpět do plnící komory. Při dosažení zdvihu, při kterém je plnící i přepouštěcí otvor zakryt pláštěm pístku, dochází k teoretickému počátku dodávky paliva. Od tohoto okamžiku je palivo dále pohybem pístku stlačováno až na hodnotu tlaku, kdy síla působící na vytlačný ventil 9 překoná předpětí pružiny vytlačného ventila. Palivo začne proudit do vysokotlakého potrubí a dále do vstříkovadla, kde je tryskou rozprášeno do spalovacího prostoru motoru.

Vstříkování paliva probíhá tak dlouho, jak dlouho jsou zakryty otvory 13 a 14 pláštěm pístku. V okamžiku, kdy šroubová regulační hrana pístku začne odkrývat přepouštěcí otvor 13,

palivo z prostoru nad pístkem pronikne zpět do plnící komory. Dojde k prudkému poklesu tlaku nad pístkem a předpětí pružiny výtlačného ventilu překoná sílu od tlaku paliva a tím dojde k dosednutí kuželky ventilu do sedla. Výstřik paliva je ukončen.

Dále je pístek vačkou zvednut až do horní úvratí. Palivo z prostoru nad pístkem prochází svislou drážkou v plášti pístku a přes přepouštěcí otvor zpět do plnící komory. Zpětný pohyb pístku zajišťuje vratná pružina 4, která musí pohybujícím se hmotám udělit dostatečné zrychlení, aby nedocházelo k odskakování kladíčky od vačky.

Regulace množství vstřikovaného paliva se u tohoto druhu čerpadel provádí natáčením pístku ve válci ozubeným hřebenem 11. Protože spodní regulační hrana pístku je šroubová, mění se v závislosti na natočení pístku i okamžik odkrytí přepouštěcího otvoru touto hranou, tzn. okamžik ukončení vstřikování. Tomuto uspořádání říkáme regulace s konstantním počátkem dodávky paliva a je nejvíce používané.

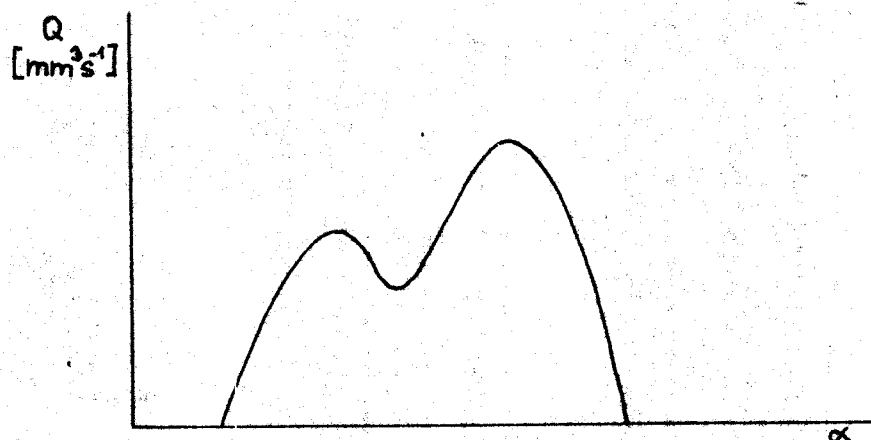
Jednou z nejdůležitějších funkčních součástí vstřikovacího čerpadla je vačka, která určuje pohyb pístku mezi úvratěmi a dobou setrvání v jednotlivých úvratích. Podle profilu vačky se tedy řídí pohybový zákon pístku. Na průběhu a hodnotách rychlosti pístku závisí rychlosť vstřikování paliva, která určuje kvalitu rozprášení paliva. Vačka a její tvar tedy určují vlastnosti vstřikovacího čerpadla. Bok vačky je nejčastěji složen z kruhových obleuků. Tyto vačky se vyznačují tím, že skoková změna poloměru vyvolá skokovou změnu v průběhu zrychlení. Skoky ve zrychlení negativně působí na životnost čerpadla, zvláště na životnost vratných pružin, neboť skoky ve zrychlení vyvolávají jejich rezonanční rozkmitávání.

Skokové změny zrychlení rovněž způsobují skokové změny v průběhu sil působících mezi kladíčkou a vačkou. Tyto změny ne-příznivě působí na životnost činných ploch kladíčky a vačky.

To vede ke snaze konstruovat vačky se spojitým průběhem zrychlení. Někdy se používají i nesymetrické vačky, u nichž je sestopný bok pozvolnější, čímž klesá maximální hodnota zrychlení. Tyto vačky však lze použít pouze pro jeden smysl otáčení vačkového hřídele.

Rovněž se používají vačky u nichž lze docílit řízeného vstřiku, tzn. že při jejich konstrukci se vychází ze znalosti nejvhodnější závislosti průtoku paliva tryskou na úhlu poctočení vačky. Tého lze docílit jenom v úzkém rozsahu otáček, kdy provozní režim se blíží výpočetovému režimu, pro který platí daný zákon vstřiku. Motor při použití těchto vaček má zvlášť měkký chod v daném rozsahu otáček. To se využívá u stacionárních a lodních motorů.

Na obrázku je znázorněn výhodný průběh průtoku paliva tryskou na úhlu poctočení vačky.



obr.1

## 1. Vstřikovací čerpadlo PV 6Bg 9P

Čerpadla řady PV, tzn. s vlastním pohonem, se používají u víceválcových vznětových vozidlových motorů a pro malé a střední stacionární motory. Čerpadla řady PV se vyrábějí ve dvou až dvanáctiválcovém provedení a v několika rozměrových řadách lišících se zdvihem pístku vstřikovací jednotky.

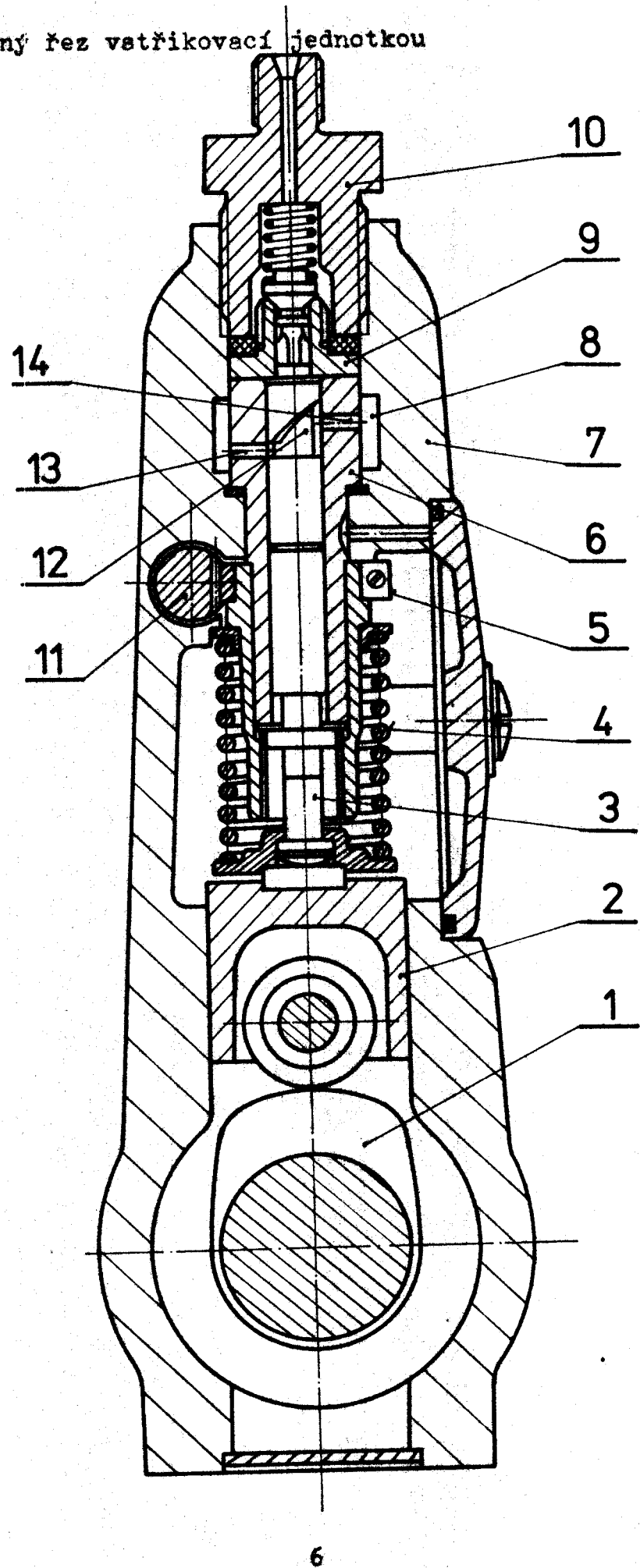
Čerpadlo PV 6Bg 9P má 6 vysokotlakých vstřikovacích jednotek, jejichž pístky mají zdvih  $h = 10 \text{ mm}$  a průměr pístku  $d = 9 \text{ mm}$ . Vstřikovací jednotky jsou uspořádány ve společném bloku za sebou. Pístky ovládá vačkový hřídel, který je na okrajích uložen ve dvou kuličkových ložiskách a uprostřed je podepřen kluznou podporou. Ta zachycuje síly působící na vačkový hřídel a tak se podstatně zmenšuje průhyb vačkového hřídele. To přispívá k tužšímu uložení vačkového hřídele a tedy ke snížení náchylnosti hřídele k ohýbovému kmitání.

Bok vačky je tvořen dvěma kruhovými oblouky o poloměrech  $R_2 = 110 \text{ mm}$  a  $R_0 = 9 \text{ mm}$ . Teoretický počátek dodávky paliva nastává při zdvihu  $y = 3,5 \text{ mm}$  od dolní úvratí pístku.

Výrobce udává maximální hodnotu rychlosti pístku při  $1000 \text{ ot/min.}$  vačkového hřídele  $1,82 \text{ m/s.}$

Úkolem této diplomové práce bylo provést základní rozbor kinematicko-dynamických poměrů u vstřikovacího čerpadla Motorpal PV 6Bg 9P a posouzení vlivu řešení vačkového mechanismu /uspořádání, rozměry, tvar vačky/ na průběh rychlosti pohybu pístku. Dále úkolem práce byl výpočet hnacího momentu čerpadla a namáhání uzlu vačka - kladka. Výsledky provedeného šetření jsou zhodnoceny z hlediska možnosti zvyšování rychlosti pohybu pístku a celkové dávky paliva.

obr.2 Příčný řez vstřikovací jednotkou



## 2. Řešení kinematických veličin.

Znalost průběhu kinematických veličin, tzn. zdvihu, rychlosti a zrychlení pistku slouží k posouzení vlastností vstřikovací jednotky.

Průběh rychlosti v závislosti na pootočení vačky se má v průběhu vstřiku průběžně zvětšovat tak, aby palivo vstupující do spalovacího prostoru později předběhlo zónu hořícího paliva, které bylo vstříknuto dříve, a dostalo se tak do míst, kde je ještě dostatek kyslíku k hoření. U moderních motorů je vhodným tvarem spalovacího prostoru dosaženo značného vření vzduchu a paliva a tento požadavek ustupuje do pozadí.

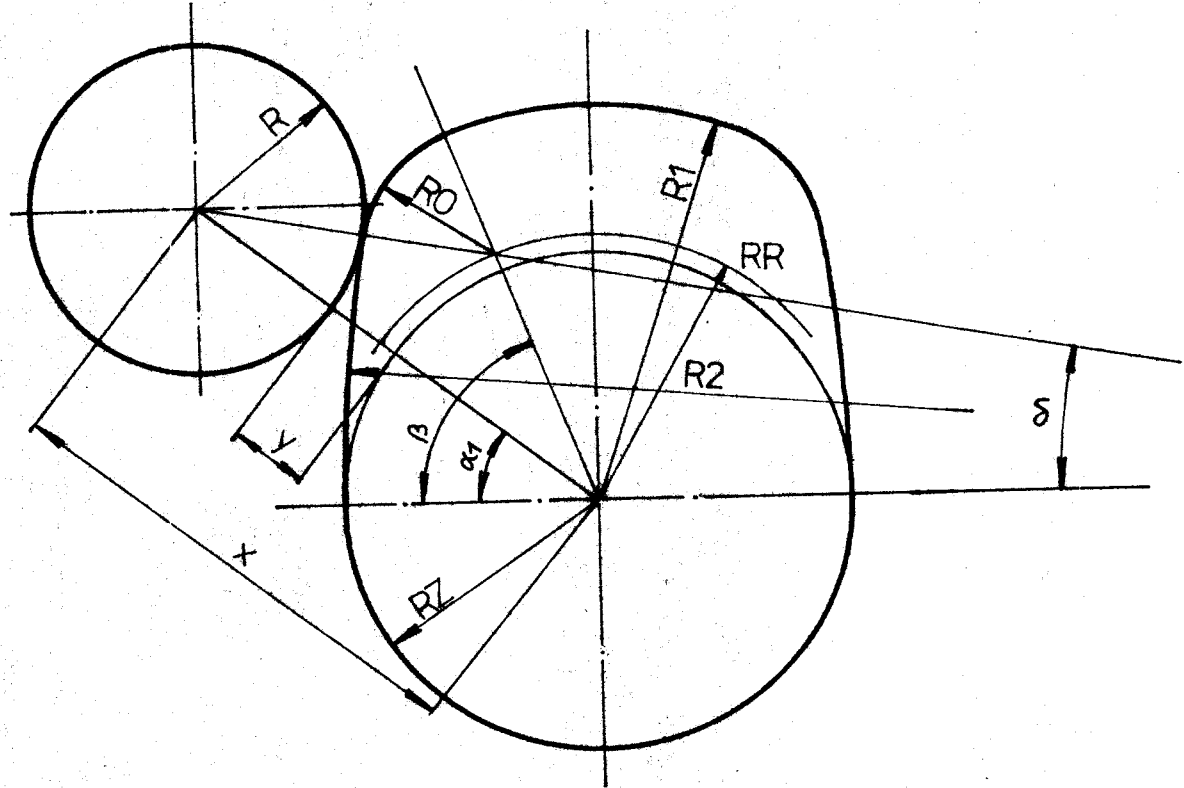
Hodnoty rychlostí během vstřikování musí dosahovat určitých minimálních velikostí, aby bylo zajištěno dokonalé rozprášení paliva a tím i vysoká účinnost spalování. Kvalita rozprášení paliva má vliv na výkon motoru, životnost motoru a obsah škodlivých látek ve výfukových plynech. Z toho plynne požadavek na zvyšování rychlosti vstřikování, tedy rychlosti pohybu pistku. Tento požadavek je však omezován z hlediska životnosti a namáhání dílů vstřikovací jednotky.

### 2.1 Odvození vztahů pro výpočet kinematických veličin v závislosti na úhlu pootočení vačky a na uspořádání mechanismu.

Odvozené vztahy slouží pro výpočet kinematických veličin obecně formulovaného vačkového mechanismu při možnosti posouzení některých konstrukčních úprav, na př. rozměrů, vyosení zvedáku a pod.

#### 2.1.1 Výpočet úhlu $\alpha_1$ .

Úhel  $\alpha_1$  je úhel přechodu dotykového bodu kladíčky a vačky z poloměru R2 na RO.



obr.3

Pro pomocný úhel  $\delta$  platí vztah:

$$\delta = \arccos \frac{(R_2 - R_0)^2 + (R_2 - R_Z)^2 - R^2}{2(R_2 - R_0) \cdot (R_2 - R_Z)}$$

Pro  $x^2$  platí vztah:

$$x^2 = (R_2 + R)^2 + (R_2 - R_Z)^2 - 2(R_2 + R) \cdot (R_2 - R_Z) \cdot \cos \delta$$

Pro velikost úhlu  $\alpha_1$  platí vztah:

$$\alpha_1 = \arccos \frac{(R_2 + R)^2 - x^2 - (R_2 - R_Z)^2}{2 \cdot x \cdot (R_2 - R_Z)}$$

Úhel  $\alpha_1$  je funkcí poloměru  $R_2$ ,  $R_Z$ ,  $R_0$ ,  $RR$  a  $R$ , tj. závisí na tvaru vačky a na poloměru kladíčky.

### 2.1.2 Výpočet úhlu $\beta$

Úhel  $\beta$  je úhel odpovídající okamžiku ukončení zdvihu.

Vyjdeme z kosinové věty a upravený vztah pro  $\beta$  má tvar:

$$\beta = \arccos \frac{(R_2 - R_0)^2 - RR^2 - (R_2 - R_Z)^2}{2 \cdot RR \cdot (R_2 - R_Z)}$$

Úhel  $\beta$  je pouze funkcií poloměrů  $R_2$ ,  $R_Z$ ,  $R_0$  a  $RR$ , tzn., že nezávisí na poloměru kladíčky  $R$ .

### 2.1.3 Odvození kinematických vztahů pro interval $\alpha = (0, \alpha_M)$

Pohyb v intervalu  $(0, \alpha_M)$  je charakterizován dotykem kladíčky s poloměrem  $R_2$  vačky. Při odvození vyjdeme z obr. /4/. V trojúhelníku ABC platí kosinova věta:

$$c^2 = a^2 + b^2 + 2ab\cos\alpha$$

z ní vyjádříme  $a$ :

$$a = -b\cos\alpha + \sqrt{b^2(\cos^2\alpha - 1) + c^2}$$

po dosazení obdržíme pro  $y$ :

$$y = -(R_2 - R_Z - \frac{e}{\sin\alpha})\cos\alpha + \sqrt{(R_2 - R_Z - \frac{e}{\sin\alpha})^2(\cos^2\alpha - 1) + (R_2 + R)^2} - R - R_Z - \frac{e}{\tan\alpha}$$

Po úpravě s využitím goniometrických vzorců dostáváme konečný vztah pro zdvih pistku  $y$ :

$$y = -(R_2 - R_Z)\cos\alpha + \sqrt{(R_2 - R_Z)^2(\cos^2\alpha - 1) + 2 \cdot (R_2 - R_Z)e \cdot \sin\alpha - e^2 + (R_2 + R)^2} - R - R_Z \quad (1)$$

Pro rychlosť pistku platí vztah:

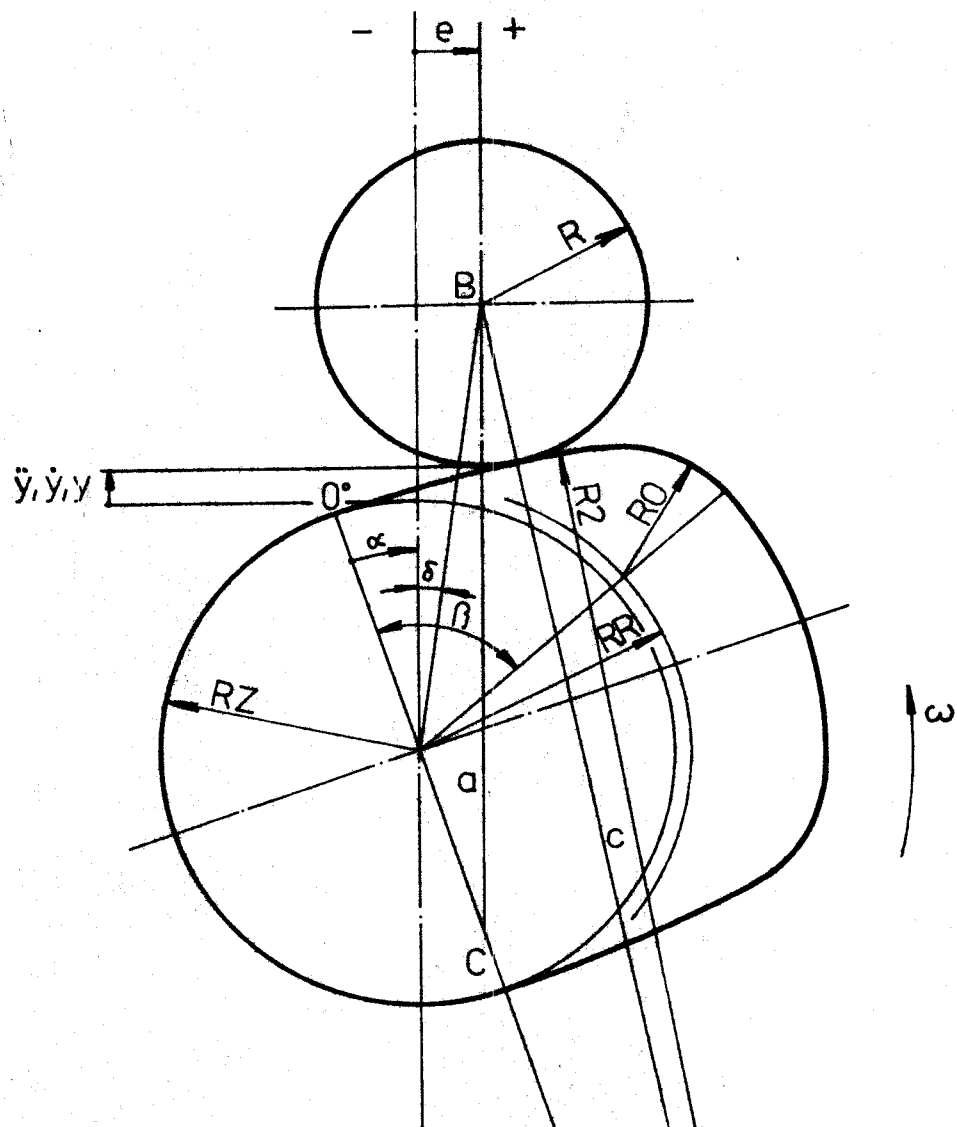
$$v = \frac{dy}{dt} = \frac{dy}{d\alpha} \cdot \frac{d\alpha}{dt} = \omega \cdot \frac{dy}{d\alpha}$$

Po provedení naznačené derivace a po úpravě dostáváme konečný vztah pro rychlosť pistku  $v$ :

$$v = \omega \left[ \frac{(R_2 - R_Z)\sin\alpha + \frac{-(R_2 - R_Z)^2 \cdot \cos\alpha \cdot \sin\alpha + (R_2 - R_Z)e \cdot \cos\alpha}{(R_2 - R_Z)^2(\cos^2\alpha - 1) + 2 \cdot (R_2 - R_Z)e \cdot \sin\alpha - e^2 + (R_2 + R)^2}}{\sqrt{(R_2 - R_Z)^2(\cos^2\alpha - 1) + 2 \cdot (R_2 - R_Z)e \cdot \sin\alpha - e^2 + (R_2 + R)^2}} \right] \quad (2)$$

Pro zrychlení platí vztah:

$$a = \frac{dv}{dt} = \frac{dv}{d\alpha} \cdot \frac{d\alpha}{dt} = \omega \cdot \frac{dv}{d\alpha}$$



$$a = R + y + RZ + \frac{e}{\tan \alpha}$$

$$b = R_2 - RZ - \frac{e}{\sin \alpha}$$

$$c = R_2 + R$$

obr. 4

Pro zjednodušení zavedeme substituce:

$$u = -(R_2 - R_Z)^2 \cos \alpha \cdot \sin \alpha + (R_2 - R_Z) e \cdot \cos \alpha$$

$$w = \sqrt{(R_2 - R_Z)^2 (\cos^2 \alpha - 1) + 2 \cdot (R_2 - R_Z) e \cdot \sin \alpha - e^2 + (R_2 + R)^2}$$

$$u' = \frac{du}{d\alpha} = -(R_2 - R_Z)^2 (\cos^2 \alpha - \sin^2 \alpha) - (R_2 - R_Z) e \cdot \sin \alpha$$

$$w' = \frac{dw}{d\alpha} = \frac{-(R_2 - R_Z)^2 \cos \alpha \cdot \sin \alpha + (R_2 - R_Z) e \cdot \cos \alpha}{\sqrt{(R_2 - R_Z)^2 (\cos^2 \alpha - 1) + 2 \cdot (R_2 - R_Z) e \cdot \sin \alpha - e^2 + (R_2 + R)^2}}$$

Potom pro zrychlení pistku platí vztah:

$$\alpha = \omega^2 \left[ (R_2 - R_Z) \cos \alpha + \frac{u' w - u w'}{w^2} \right] \quad (3)$$

#### 2.1.4 Odvození kinematických vztahů pro interval $\alpha = (\alpha_M, \beta)$

Pohyb v intervalu  $(\alpha_M, \beta)$  je charakterizován dotykem kladíčky s poloměrem  $R_0$  vačky. Při odvození vyjdeme z obr. /5/.

Úhel pootočení vačky  $\alpha_M$ , kdy dotykový bod přechází z poloměru  $R_2$  na poloměr  $R_0$  vačky, je dán vztahem:

$$\alpha_M = \alpha_i \pm \arctg \frac{|e|}{R + y + R_Z}$$

Kladné znaménko platí pro zápornou excentricitu, záporné znaménko pro kladnou excentricitu.

Z uvedeného vztahu vyplývá, že při nulové excentricitě je úhel přechodu  $\alpha_M$  dán přímo úhlem  $\alpha_i$ .

V trojúhelníku ABC platí kosinova věta:

$$c^2 = a^2 + b^2 - 2ab \cdot \cos(\beta - \alpha)$$

z ní vyjádříme a:

$$a = b \cdot \cos(\beta - \alpha) + \sqrt{b^2 [\cos^2(\beta - \alpha) - 1] + c^2}$$

Po dosazení dostáváme vztah pro y:

$$y = \left( RR - \frac{e}{\sin(\beta-\alpha)} \right) \cos(\beta-\alpha) + \sqrt{\left[ RR - \frac{e}{\sin(\beta-\alpha)} \right]^2 [\cos^2(\beta-\alpha)-1] + (R+RO)^2} - R - RZ - \frac{e}{\tan(\beta-\alpha)}$$

Po úpravě s využitím goniometrických vzorců dostáváme konečný vztah pro závěr pístku y:

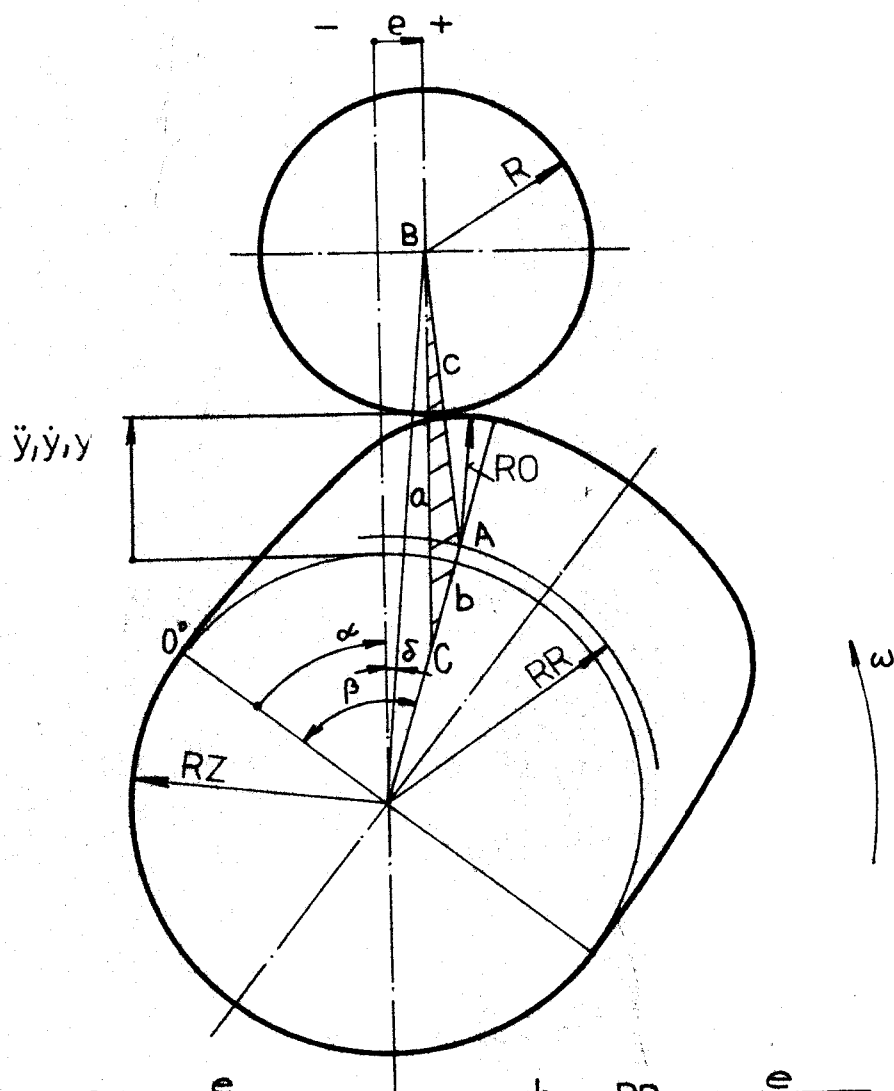
$$y = RR \cdot \cos(\beta - \alpha) + \sqrt{RR^2[\cos^2(\beta - \alpha) - 1] + 2 \cdot RR \cdot e \cdot \sin(\beta - \alpha) - e^2 + (R + RO)^2} - R - RZ \quad (4)$$

Pro rychlosť pístku platí vztah:

$$v = \frac{dy}{dt} = \frac{dy}{d\alpha} \cdot \frac{d\alpha}{dt} = \omega \cdot \frac{dy}{d\alpha}$$

Po provedení naznačené derivace a po úpravě dostáváme konečný vztah pro rychlosť pistku v:

obr.5



$$a = R + y + RZ - \frac{e}{\tan(\beta - \alpha)}$$

$$b = RR - \frac{e}{\sin(\beta - \alpha)}$$

$$C = R + RO$$

$$v = \omega \left[ RR \cdot \sin(\beta-\alpha) + \frac{RR \cdot \cos(\beta-\alpha) \cdot \sin(\beta-\alpha) - RR \cdot e \cdot \cos(\beta-\alpha)}{\sqrt{RR^2[\cos^2(\beta-\alpha)-1] + 2 \cdot RR \cdot e \cdot \sin(\beta-\alpha) - e^2 + (R+RO)^2}} \right] \quad (5)$$

Pro zrychlení pistku platí vztah:

$$a = \frac{dv}{dt} = \frac{dv}{d\alpha} \cdot \frac{d\alpha}{dt} = \omega \cdot \frac{dv}{d\alpha}$$

Pro zjednodušení zavedeme substituce:

$$U = RR^2 \cdot \cos(\beta-\alpha) \cdot \sin(\beta-\alpha) - RR \cdot e \cdot \cos(\beta-\alpha)$$

$$W = RR^2 [\cos^2(\beta-\alpha)-1] + 2 \cdot RR \cdot e \cdot \sin(\beta-\alpha) - e^2 + (R+RO)^2$$

$$U' = \frac{du}{d\alpha} = RR^2 [\sin^2(\beta-\alpha) - \cos^2(\beta-\alpha)] - RR \cdot e \cdot \sin(\beta-\alpha)$$

$$W' = \frac{dw}{d\alpha} = \frac{RR^2 \cdot \cos(\beta-\alpha) \cdot \sin(\beta-\alpha) - RR \cdot e \cdot \cos(\beta-\alpha)}{\sqrt{RR^2 [\cos^2(\beta-\alpha)-1] + 2 \cdot RR \cdot e \cdot \sin(\beta-\alpha) - e^2 + (R+RO)^2}}$$

Potom pro zrychlení platí vztah:

$$a = \omega^2 \left[ -RR \cdot \cos(\beta-\alpha) + \frac{U' \cdot W - U \cdot W'}{W^2} \right] \quad (6)$$

Z uvedených vztahů vyplývá, že rychlosť pistku je pŕímo úmerná úhlové rychlosťi, t.j. otáčkám wačkového hřídele.

Zrychlení je pŕímo úmerné kvadrátu úhlové rychlosťi, t.j. otáčkám hřídele. Při zvýšení otáček na dvojnásobek vzrostou hodnoty zrychlení, t.j. i všech dynamických veličin na čtyřnásobek púvodní hodnoty.

#### 2.1.5 Určení úhlu po otočení wačky odpovídajícího začátku a konci zdvihu v závislosti na excentricitě.

Úhel, ktorý odpovídá počátku zdvihu určíme ze vztahu:

$$\alpha_0 = \pm \arcsin \frac{|e|}{R+RZ}$$

Kladné znaménko platí pro zápornou excentricitu, záporné znaménko pro kladnou excentricitu.

Úhel, který odpovídá konci zdvihu určíme ze vztahu:

$$\alpha_k = \beta \pm \arcsin \frac{|e|}{R + Rz + 10}$$

Kladné znaménko platí pro zápornou excentricitu, záporné znaménko pro kladnou excentricitu.

Úhel pootočení vačky, který přísluší pohybu pistku z dolní do horní úvratě, vypočteme ze vztahu:

$$\alpha_c = \alpha_k - \alpha_o$$

Pro výpočet kinematických veličin byl sestaven program pro výpočet na počítači, jehož vývojový diagram je uveden na obr. /18/

Vlastní program v jazyce Fortran IV je přiložen v příloze.

Program je univerzální, neboť při výpočtu kinematických veličin můžeme měnit velikost excentricity, poloměru kladičky a tvar vačky. Část vačky odpovídající zdvihiu pistku však musí být složena ze dvou kruhových oblouků. Při výpočtu rovněž můžeme měnit otáčky vačkového hřídele.

## 2.2 Vliv excentricity na průběh kinematických veličin.

Císelné hodnoty těchto veličin v závislosti na úhlu pootočení vačky jsou uvedeny v příloze. Jejich grafické znázornění je uvedeno na obr. /6,7,8/. Závislost platí pro otáčky vačkového hřídele  $n = 1000 \text{ min}^{-1}$ , což odpovídá otáčkám motoru  $n_M = 2000 \text{ min}^{-1}$ . U stávajícího řešení je excentricita  $e = 0$ . Výpočet kinematických veličin jsem provedl pro hodnoty excentricity  $e = 2 \text{ mm}$  a  $e = -2 \text{ mm}$ . V následující tabulce jsou uvedeny úhly počátku, konce a trvání zdvihu, úhel přechodu, maximální rychlosť pistku a maximální hodnota zrychlení v závislosti na hodnotě  $e$ .

tab.1

$e$ [mm]	$\alpha_0$	$\alpha_K$	$\alpha_c$	$v_{max}$ [ms <sup>-1</sup> ]	$a_{max}$ [ms <sup>-2</sup> ]	$\alpha_M$
2	-4° 5' 45,16"	65° 27' 55,77"	69° 33' 40,93"	1,749	385,8	33° 30'
0	0	68° 28' 56,83"	68° 28' 56,83"	1,815	417,3	37° 18'
-2	4° 5' 45,16"	71° 29' 57,89"	67° 24' 12,73"	1,875	453,5	40° 30'

Při kladné excentricitě se zvětšuje úhel počítání vačky příslušející plnému zdvihiu pístku. Tzn., že zdvih pístku z dolní do horní úvrati probíhá delší čas při stejných otáčkách hřídele. Proto se snižuje maximální hodnota rychlosti i zrychlení pístku.

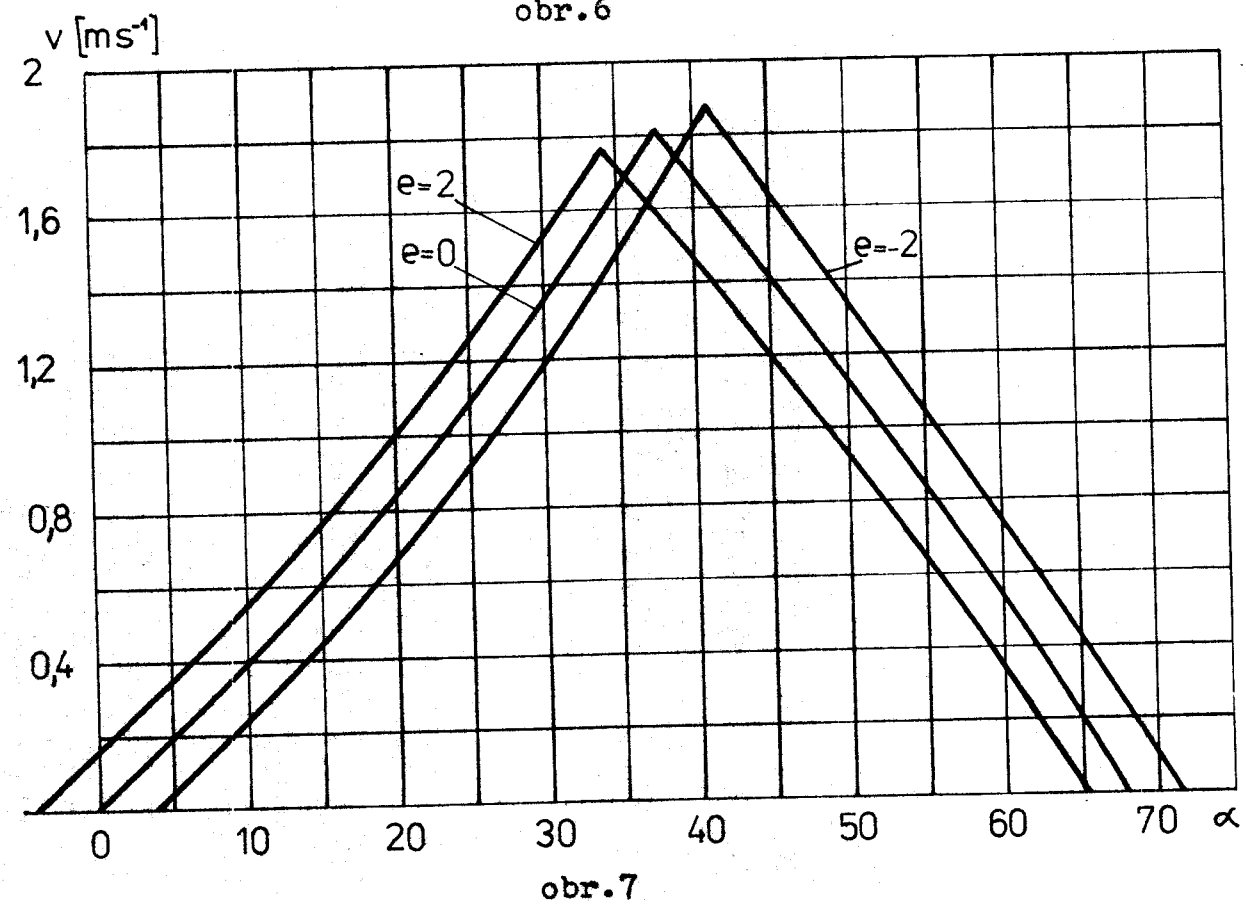
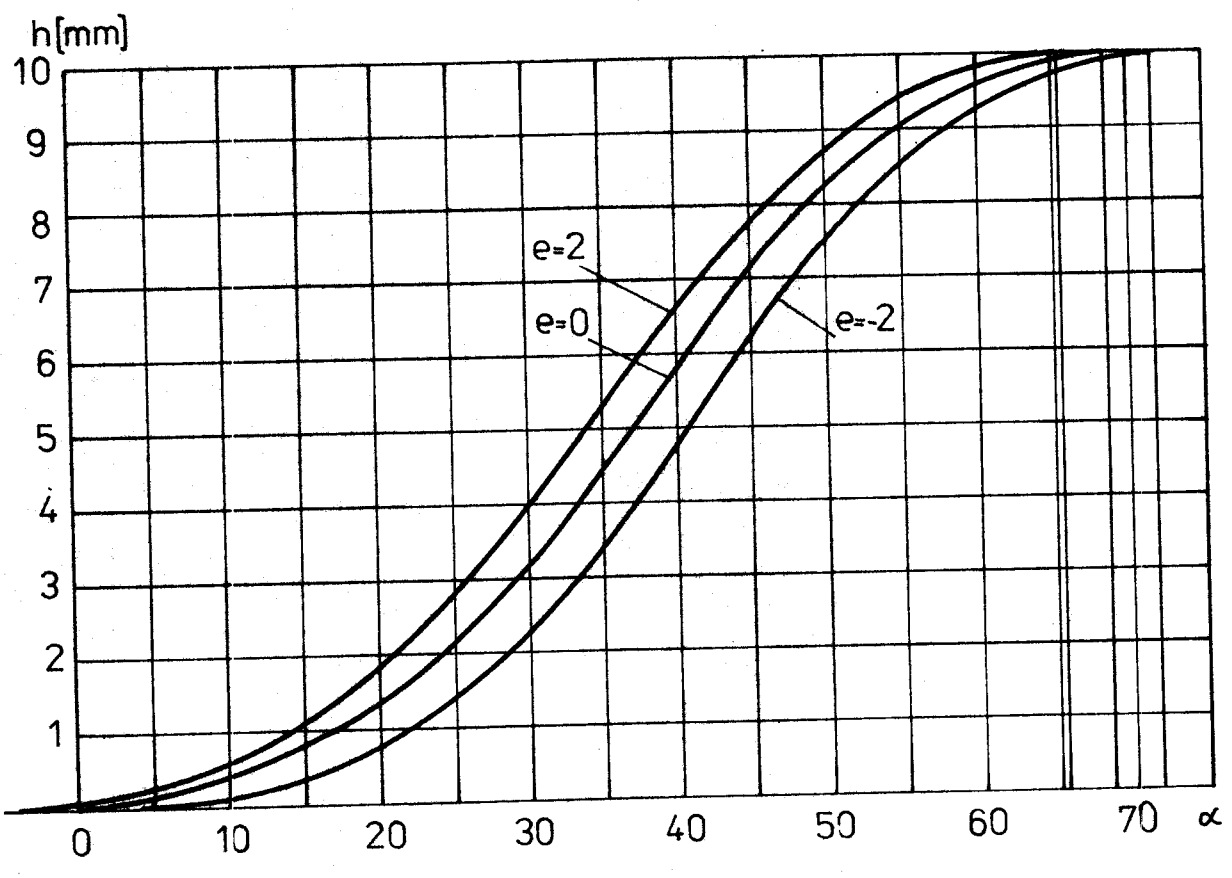
Naopak při záporné excentricitě se tento úhel a tedy i čas zdvihu zkracuje, což má za důsledek zvýšení maximálních hodnot rychlosti a zrychlení.

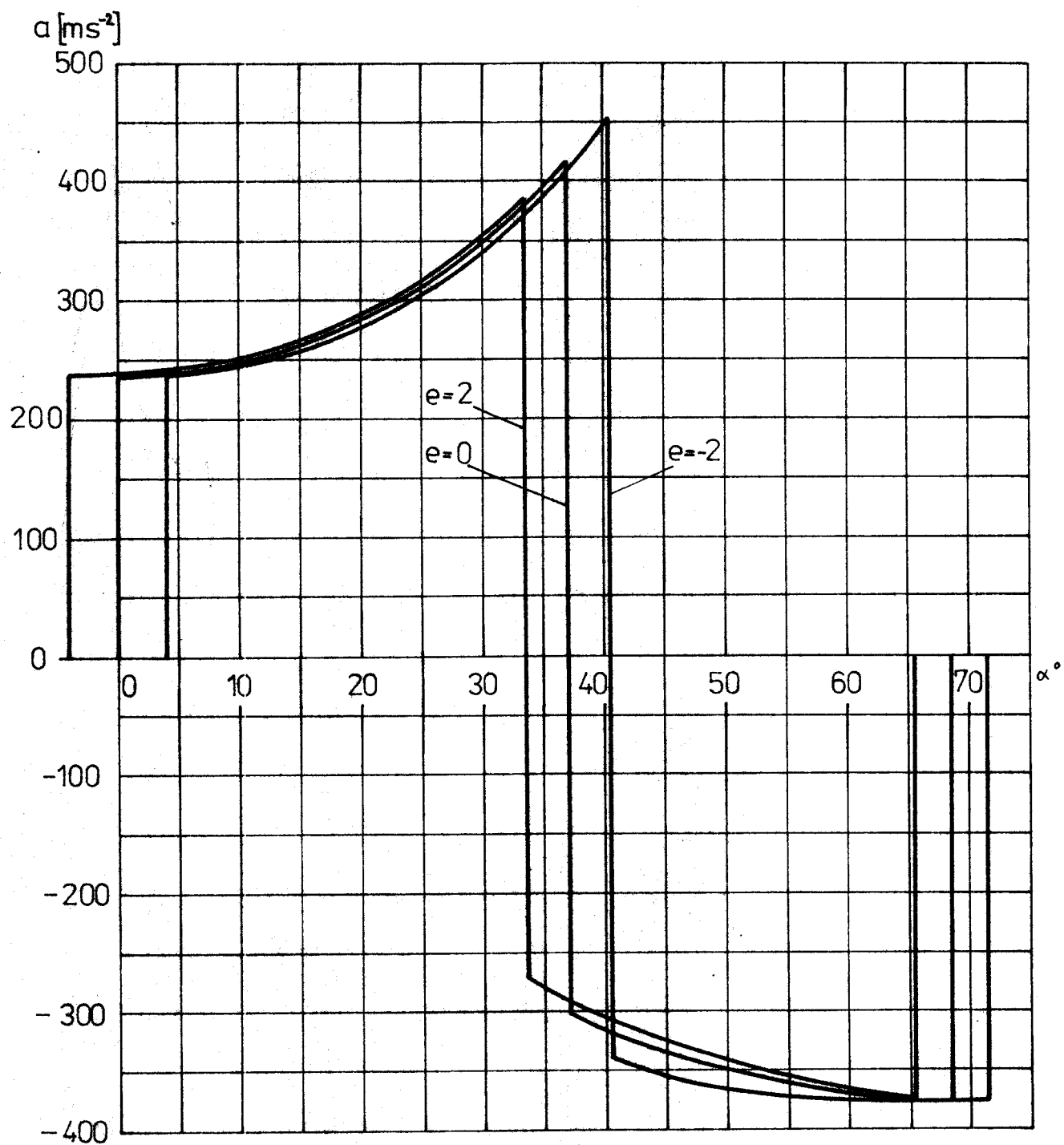
Vzhledem k tomu, že bok vačky odpovídající zdvihiu pístku je složen ze dvou kruhových oblouků, průběh rychlosti má při přechodu z oblouku o poloměru R2 na RO úhlový bod /1.derivace zprava se nerovná 1. derivaci zleva/. V důsledku toho je průběh zrychlení nespojitý. První skoková změna zrychlení je při přechodu bodu dotyku ze základní kružnice o poloměru RZ na oblouk o poloměru R2. Tato změna při  $e = 0$  a  $n = 1000 \text{ min}^{-1}$  činí  $236 \text{ ms}^2$ . Velikost excentricity tuto hodnotu příliš neovlivňuje.

Druhá skoková změna zrychlení se děje při přechodu dotykového bodu z poloměru R2 na RO. Zrychlení z kladných hodnot se skokem mění ve zpoždění. Celková změna zrychlení při  $e = 0$  a  $n = 1000 \text{ min}^{-1}$  je  $721 \text{ ms}^2$ .

Závislost maximální rychlosti a maximální skokové změny zrychlení je uvedena na obr. /15/.

Třetí skoková změna zrychlení odpovídá ukončení zdvihiu pístku. Její velikost je při  $e = 0$  a  $n = 1000 \text{ min}^{-1}$   $375 \text{ ms}^{-2}$ .





obr.8

Velikost excentricity na tuto hodnotu má zanedbatelný vliv. Je pravděpodobné, že vlivem výrobních nepřesností při výrobě vačky není skutečný průběh zrychlení totožný s vypočteným průběhem, ale že skokové změny probíhají při určitém nepatrném pootočení vačky.

Při zpětném pohybu pistku musí síla vratné pružiny překonat setrvačné síly pohybujících se hmot a tak zajistit, aby nedocházelo k odskokům kladičky od vačky. To by mělo nepříznivý vliv na životnost vačky a kladičky /docházelo by k rychlému opotřebení styčných ploch v důsledku rázů/.

Zvýšení maximální hodnoty rychlosti při záporné excentricitě oproti stávajícímu řešení přispívá k dokonalejšímu rozprášení paliva, ovšem za cenu vyššího mechanického namáhání soustavy.

### 2.3 Vliv průměru kladičky na průběh kinematických veličin.

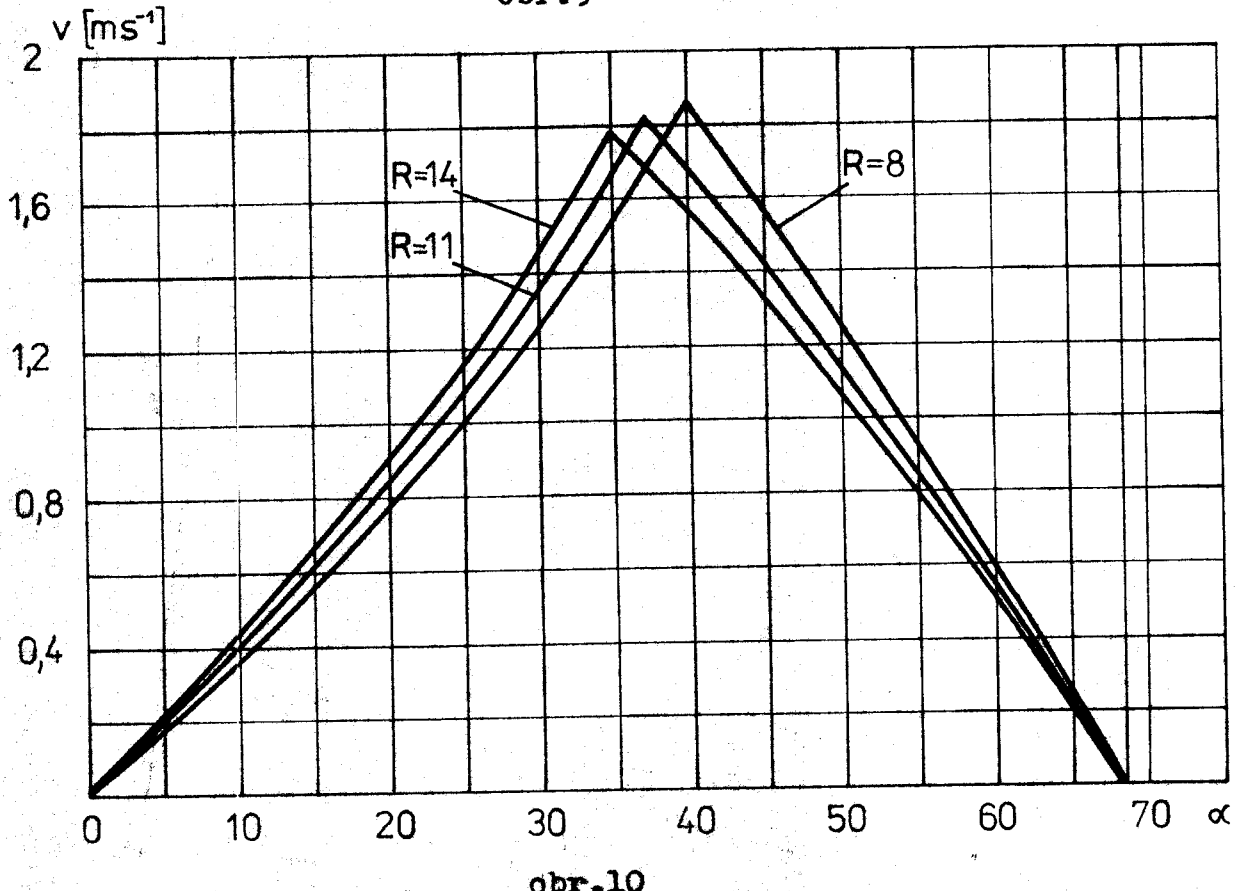
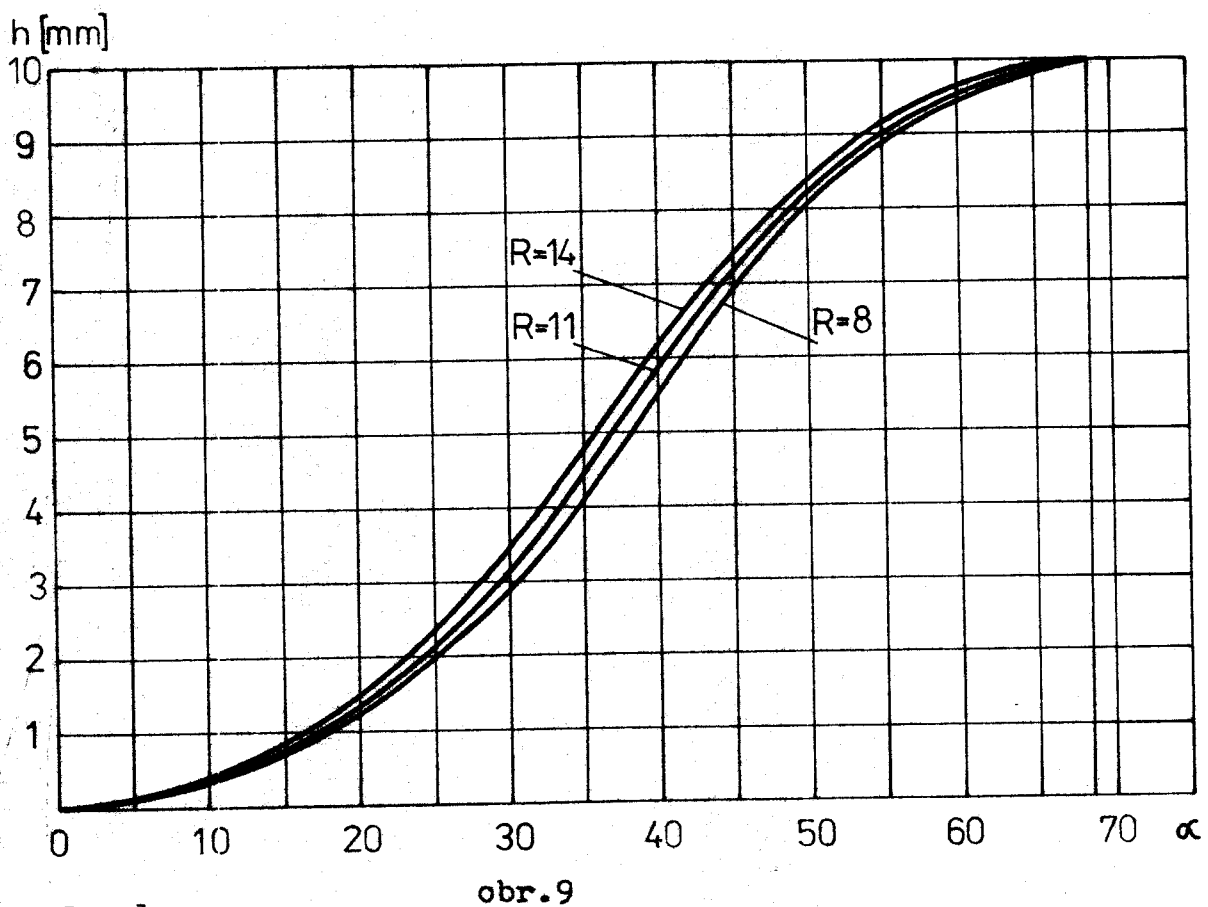
Číselné hodnoty těchto veličin v závislosti na úhlu pootočení vačky jsou uvedeny v příloze. Jejich grafické znázornění je uváděno na obr. 19, 10, 11.

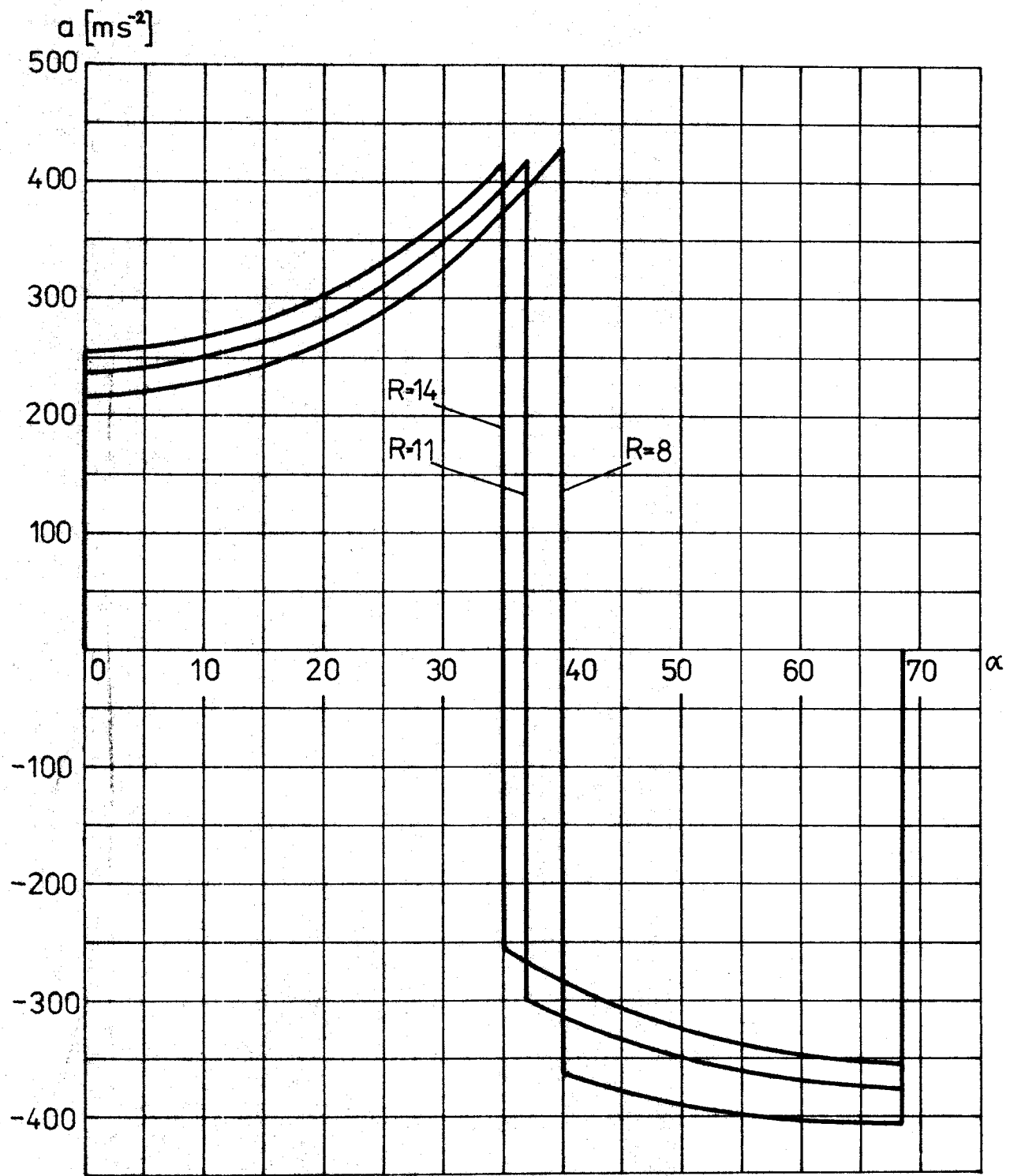
Ze závislosti plyne, že při zmenšování poloměru kladičky dochází ke zvýšení maximální hodnoty rychlosti. současně dochází k posunu maximální rychlosti směrem k vyšším hodnotám úhlu pootočení vačky. Teoreticky při nulovém poloměru kladičky by pistek dosahoval maximální rychlosti  $2,111 \text{ m}^{-1}$  při  $n = 1000 \text{ min}^{-1}$ . Úhel  $\alpha$  odpovídající této rychlosti by měl velikost  $\alpha_m = 49^\circ 41'$ .

Při zmenšování poloměru kladičky jsme ovšem omezeni určitým minimálním poloměrem, při kterém hodnoty Hertzova tlaku mezi kladičkou a vačkou dosahují maximálních dovolených hodnot.

Při zvětšování poloměru kladičky dochází k poklesu maximální rychlosti. Tento pokles není příliš výrazný.

Při zvětšení poloměru kladičky jsme omezeni konstrukčními roz-





obr.11

měry zvedátka a bloku vstříkovacího čerpadla. Při zvětšení poloměru kladíčky by rovněž vzrostla hmotnost pohybujících se součástí, což by vedlo ke zvýšení setrvačních sil a k případným odskokům kladíčky při zpětném pohybu pístku.

Závislost maximální rychlosti a maximální skokové změny na poloměru kladíčky je uvedena na obr. /16/. Ze závislosti plyne že zvýšení rychlosti nutně způsobuje zvýšení maximálních hodnot zrychlení.

#### 2.4 Vliv tvaru vačky na průběh kinematických veličin.

Při posuzování tohoto vlivu jsem vycházel z toho, že se vzestupný bok vačky skládá ze dvou kruhových oblouků. Uvažoval jsem změnu poloměru  $R_2$ , na kterém dochází k výstřiku paliva. Oblouk o poloměru  $R_0$  ovlivňuje průběh rychlosti při zpětném pohybu pístku a nemá vliv na jakost rozprášení paliva. Z tohoto důvodu jsem jeho změnu neuvažoval.

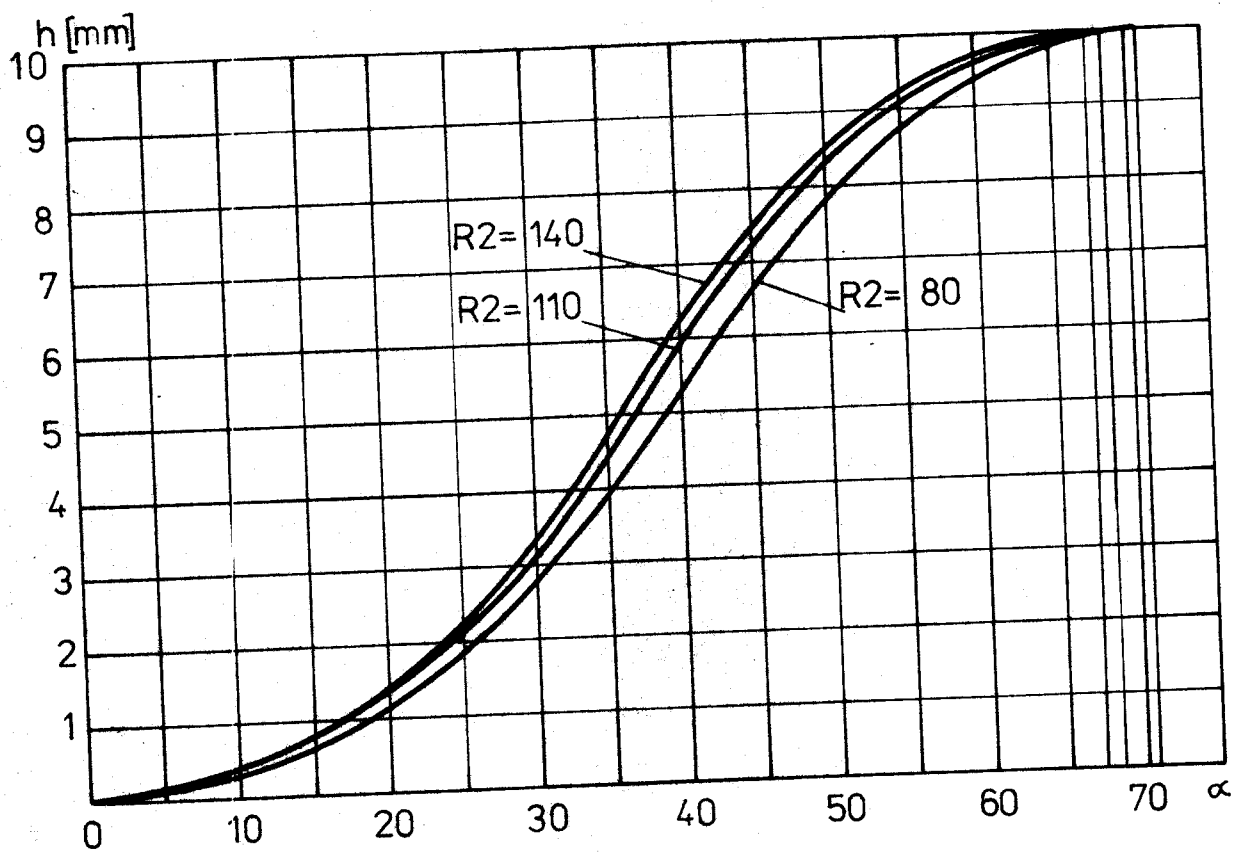
Číselné hodnoty těchto veličin jsou uvedeny v příloze. Jejich grafické znázornění je uvedeno na obr. /12, 13, 14/

Při zvětšování poloměru  $R_2$  dochází k nevýraznému zvyšování maximální hodnoty rychlosti a odpovídající úhel pootočení vačky se posouvá k počátku.

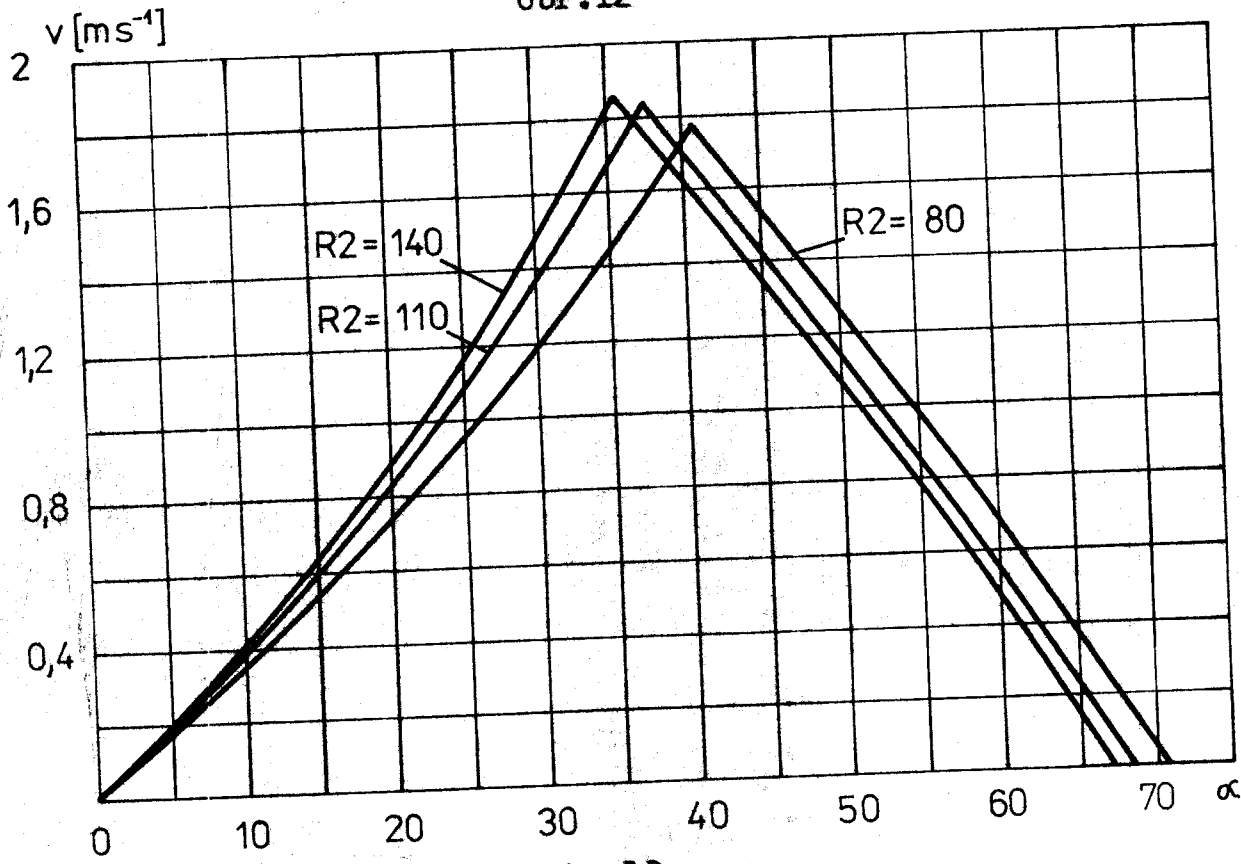
V teoretickém případě, že by  $R_2 \rightarrow \infty$ , t.j. oblouk by přešel v přímku, by maximální hodnota rychlosti činila  $1,95 \text{ m/s}^2$  při úhlu pootočení  $\alpha = 30^\circ$ . Při zvětšování poloměru  $R_2$  však výrazně roste velikost zrychlení, což by způsobilo výrazné zvýšení setrvačních sil.

Naopak při zmenšování poloměru  $R_2$  klesá maximální rychlosť a toto maximum se posouvá k vyšším úhlům pootočení vačky.

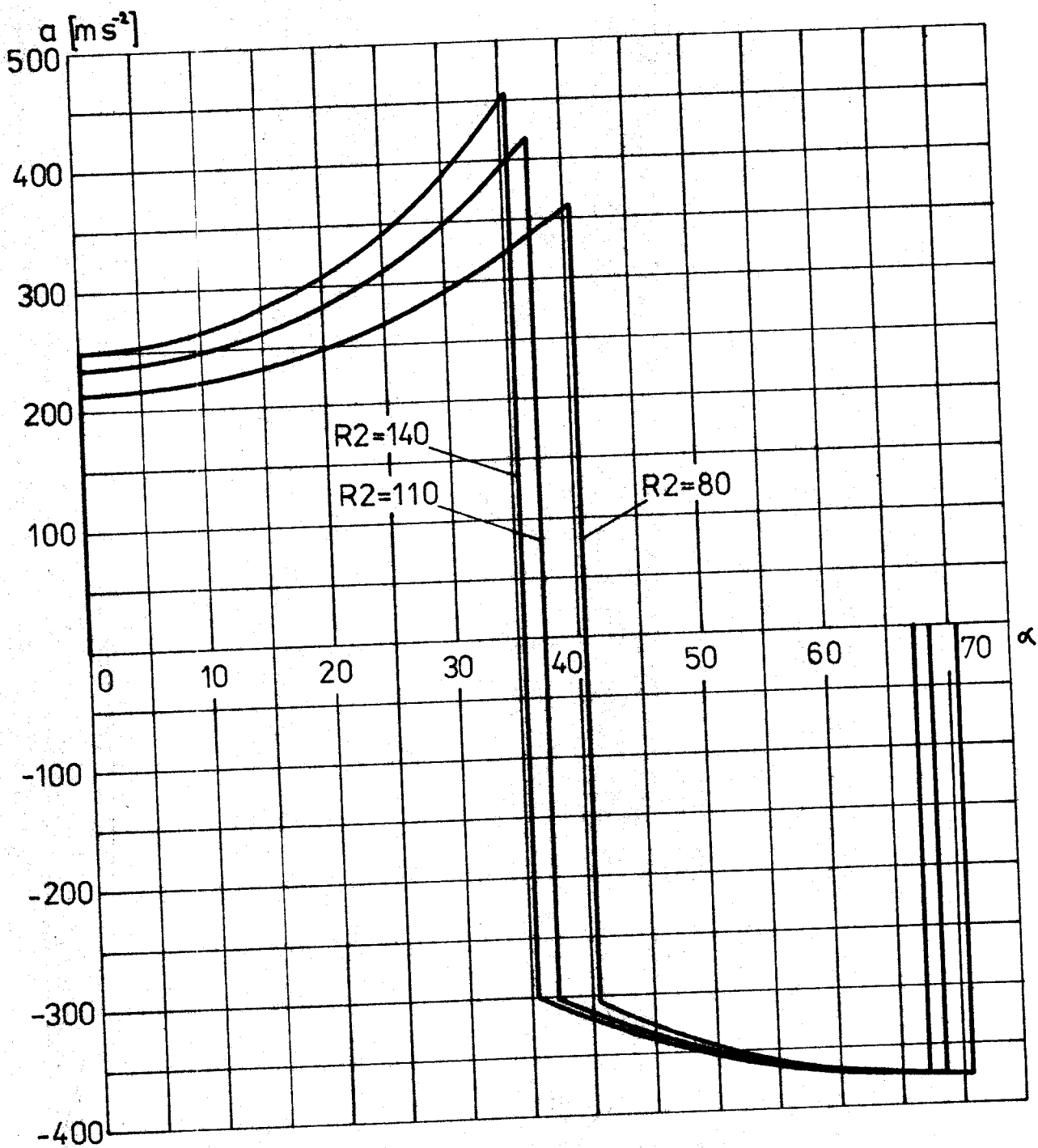
Snížení maximální rychlosti je způsobeno tím, že zdvih probíhá na větším úhlu pootočení vačky, tzn. delší čas.



obr.12



obr.13

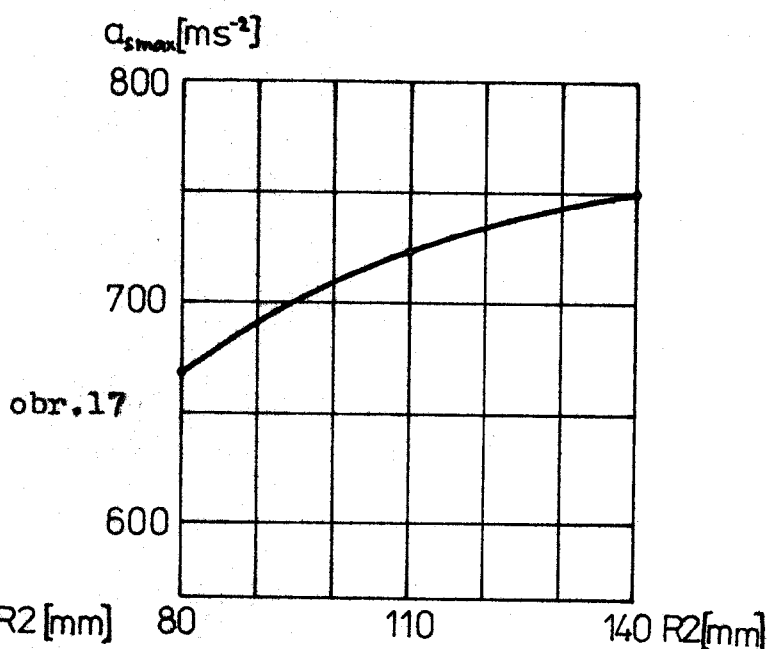
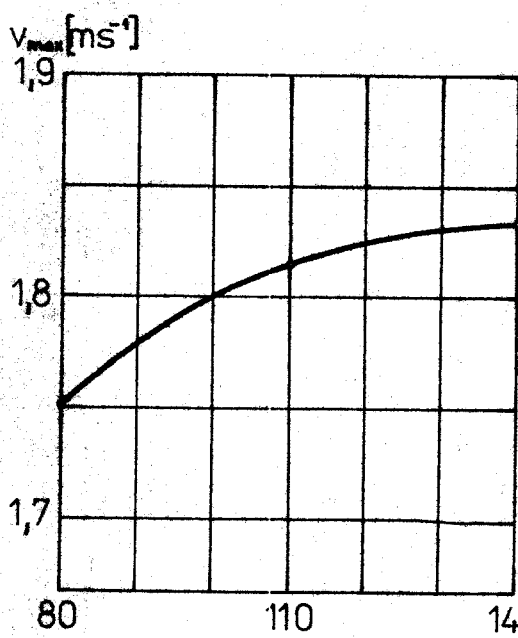
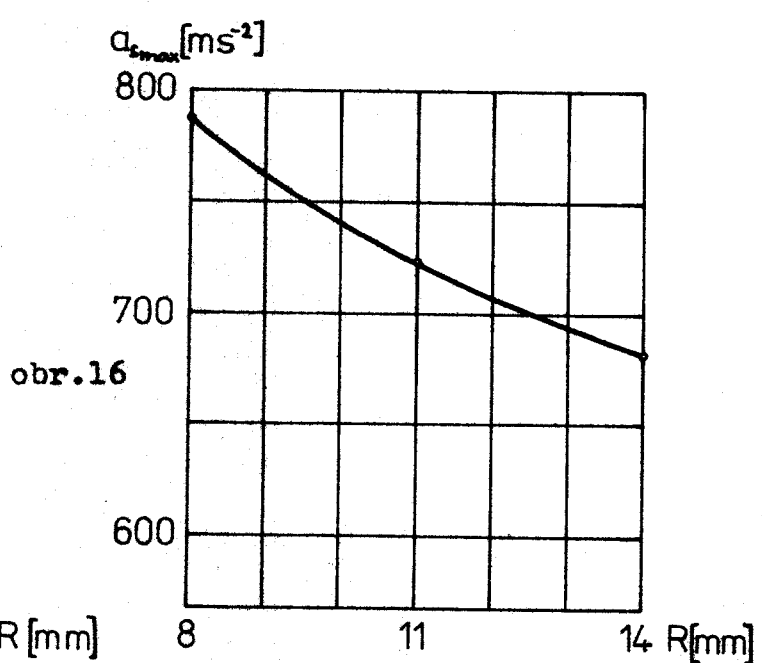
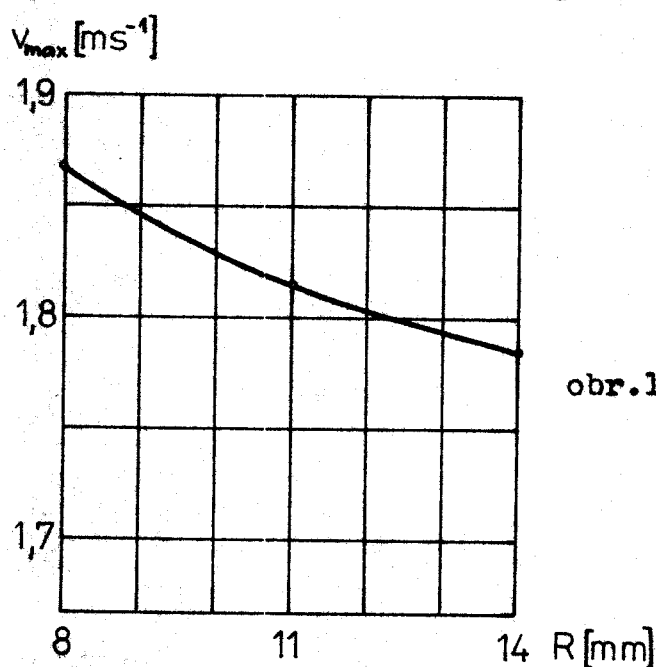
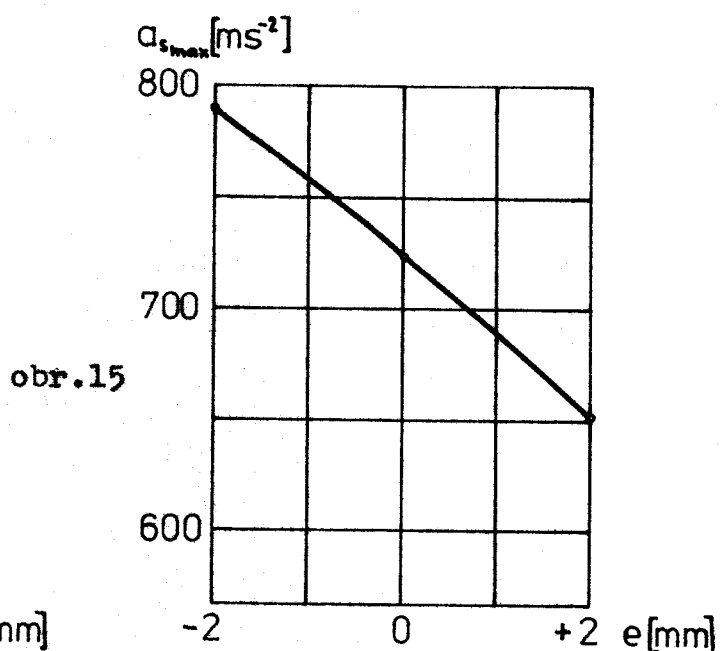
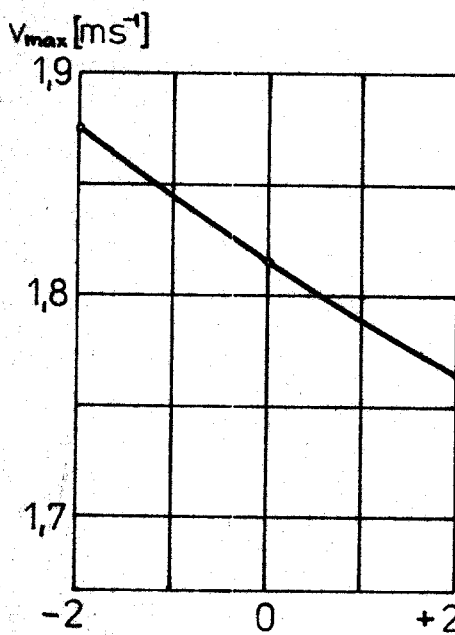


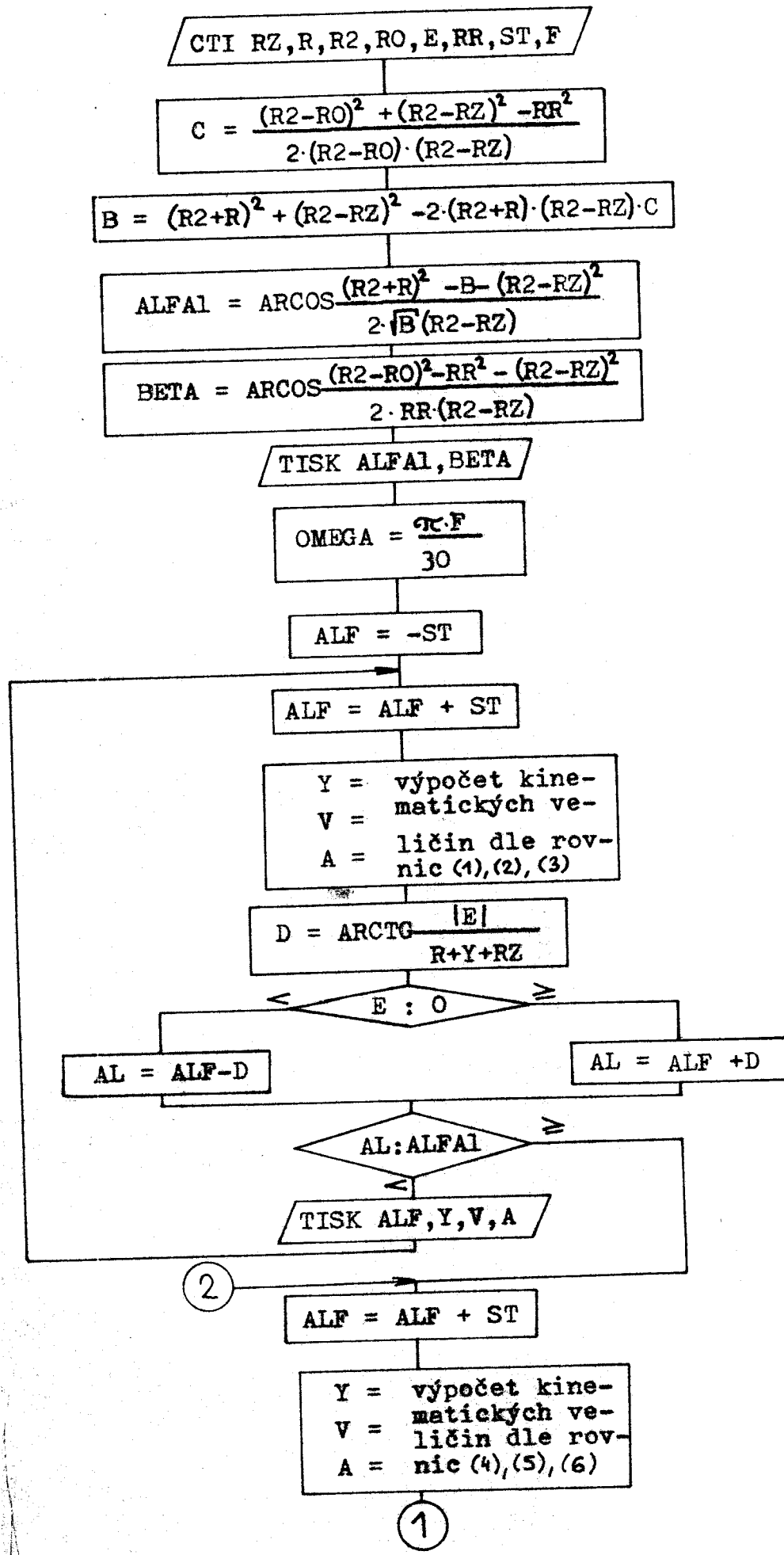
obr.14

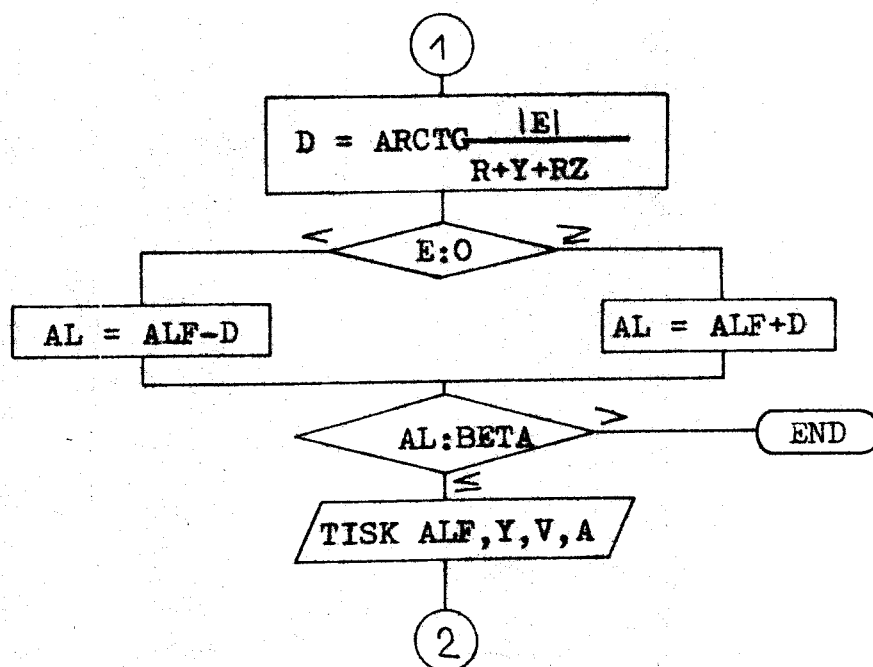
Snížení rychlosti způsobuje i snížení maximálních hodnot zrychlení.

Při zmenšování poloměru R2 nesmíme překročit určitou minimální hodnotu, která je dána maximálním přípustným Hertzovým tlakem mezi kladičkou a vačkou.

Vzhledem k tomu, že na této části vačky se odehrává vstřikování paliva, jsou síly působící ve styku kladičky s vačkou značné a tedy i hodnoty Hertzova tlaku budou dosahovat maximálních hodnot.







obr.18 Vývojový diagram pro výpočet  
kinematických veličin

### 3. Řešení dynamických veličin.

#### 3.1 Návrh dynamického modelu.

Dynamický model vysokotlaké vstřikovací jednotky slouží pro početní řešení dynamických veličin, tzn. silového působení jednotlivých prvků v hydraulickomechanickém systému. Dynamický model slouží k matematickému modelování procesu stlačování a vstřikování paliva a k výpočtu působících sil, z nichž můžeme dále spočítat např. velikost hnacího momentu na vačkovém hřidle, velikost dotykového napětí mezi vačkou a kladičkou a pod. Znalost těchto veličin je přitom dosti významná, např. při řešení náhonového systému vstřikovacího čerpadla je nutné znát průběh hnacího momentu během jedné otáčky vačkového hřidele čerpadla. Zjištění tohoto průběhu je přitom možné dvěma způsoby:

##### 1/ přímé měření

Mezi náhonové kolo a vačkový hřidel čerpadla umístíme měřidlo - snímač krouticího momentu. Tento snímač však představuje v celém systému pružný člen, což ovlivňuje výsledný krouticí moment, tzn. měření je zatíženo nepřesností. Dále toto měření vyžaduje úpravy na motoru i čerpadle, aby bylo možno umětít snímač krouticího momentu. Proto je tento způsob časově náročný a nákladný.

##### 2/ početní řešení

Vysokotlakou vstřikovací jednotku nahradíme dynamickým modelem, složeným z mechanických a hydraulických prvků. Mezi mechanické prvky patří pohybující se hmotnosti, pružiny a tlumice charakterizované tuhostmi a tlumeními jednotlivých částí vstřikovacího čerpadla. Hydraulické prvky nahrazují proces skutečného vstřikování. Matematicky lze popsat tento proces pomocí rovnic, které popisují pohyb kapaliny v potrubí.

Při odvozování těchto rovnic se vychází ze:

- 1/ zákonu nestacionárního proudění
- 2/ rovnic kontinuity
- 3/ deformačních rovnic

Při vstřikování paliva se mění rychlosť pohybu pistku, vysokotlaká část čerpadla není dokonale tuhá /musíme uvažovat stlačitelnost kapaliny a roztažnost potrubí/, mění se průtokové průřezy a velikost průtokových součinitelů. To způsobuje časovou změnu tlaku, rychlosti i protékajícího množství paliva, ale i to, že ve stejném časovém okamžiku jsou na různých místech vysokotlakého systému tyto veličiny různé.

Základními rovnicemi nestacionárního proudění kapaliny v potrubí jsou diferenciální rovnice sestavené Allievem /1903/ a Žukovským /1898/.

$$\frac{\partial c}{\partial t} = - \frac{1}{\rho_p} \cdot \frac{\partial p}{\partial x}$$

$$\frac{\partial c}{\partial x} = - \frac{1}{\rho_p a^2} \cdot \frac{\partial p}{\partial t}$$

x - vzdálenost sledovaného místa od počátku

p - tlak ve sledovaném místě

c - rychlosť ve sledovaném místě

t - čas

$\rho_p$  - hustota paliva

a - rychlosť zvuku v palivu

Hustota paliva a rychlosť zvuku jsou funkcemi tlaku a teploty.

Pro výpočet diferenciálních rovnic musíme zavést zjednodušující předpoklady:

- a/ rychlosť zvuku je konstantní a nezávislá na tlaku a teplotě
- b/ rychlosť pohybu paliva je oproti rychlosti zvuku zanedbatelná
- c/ viskositita paliva je nulová, tzn., že vlivem viskosity nenastává utlumení vln
- d/ proudění je jednocošové
- e/ neuvažujeme ztráty netěsnostmi pistku a trysky

Obecný integrál diferenciálních rovnic je dán vztahem

$$P = P_0 + X(t - \frac{x}{a}) + Y(t + \frac{x}{a})$$

$$c = c_0 + \frac{1}{\rho_p \cdot a} X(t - \frac{x}{a}) - \frac{1}{\rho_p \cdot a} Y(t + \frac{x}{a})$$

význam jednotlivých členů

$X(t - \frac{x}{a})$  - časová funkce přímé tlakové vlny od čerpadla  
k trysce

$\frac{1}{\rho_p \cdot a} X(t - \frac{x}{a})$  - časová funkce přímé rychlostní vlny

$Y(t + \frac{x}{a})$  - časová funkce zpětné tlakové vlny od trysky  
k čerpadlu

$\frac{1}{\rho_p \cdot a} Y(t + \frac{x}{a})$  - časová funkce zpětné rychlostní vlny

Vzájemné souvislosti mezi rychlostními a tlakovými vlnami:

$$P_d = X(t - \frac{x}{a}) = \rho_p \cdot a \cdot c_d$$

$$P_z = Y(t + \frac{x}{a}) = -\rho_p \cdot a \cdot c_z$$

$$c_d = \frac{1}{\rho_p \cdot a} P_d = \frac{1}{\rho_p \cdot a} X(t - \frac{x}{a})$$

$$c_z = -\frac{1}{\rho_p \cdot a} P_z = -\frac{1}{\rho_p \cdot a} Y(t + \frac{x}{a})$$

Potom lze psát:

$$P = P_0 + P_d + P_z$$

$$c = c_0 + c_d + c_z$$

Rychlosť a tlak paliva v jakémkoliv místě vznikají jako výsledek interference rychlostních a tlakových vln s příslušnými počátečními hodnotami  $c_0$ ,  $p_0$ , které jsou v potrubí před začátkem nestacionárního děje. Protože mezi dvěma následujícími větříky je dostatečně dlouhá doba, pokládáme  $c_0 = 0$ .

Rychlosť zvuku je dána vztahem  $a = \sqrt{\frac{E}{\rho_p}}$

Pro přesnější výpočet uvažujeme stlačitelnost paliva a roztažnost potrubí:

$$a = \sqrt{\frac{1}{\rho_p \left( \frac{1}{E} + \frac{1}{E} \frac{d}{s} \right)}}$$

Řešení předpokládá znalost řady funkčních závislostí a charakteristik hydraulického systému, např. výtokové vlastnosti trysky, zákony odrazu tlakových vln apod.

Jako možný postup se nabízí nahraď náhrada hydraulickomechanického systému čistě mechanickým modelem, který by při vhodné skladbě prvků mohl s přijatelnou přesností simulovat poměry zejména pokud jde o dynamické vlivy a jejich projev na silové zatížení exponevaných částí systému. V tomto případě by ovšem bylo nutné porovnáváním s měřenými hodnotami volit velikosti součinitelů, které charakterizují mechanické prvky modelu.

V další části diplomové práce se zabývám ověřením vhodnosti tohoto postupu.

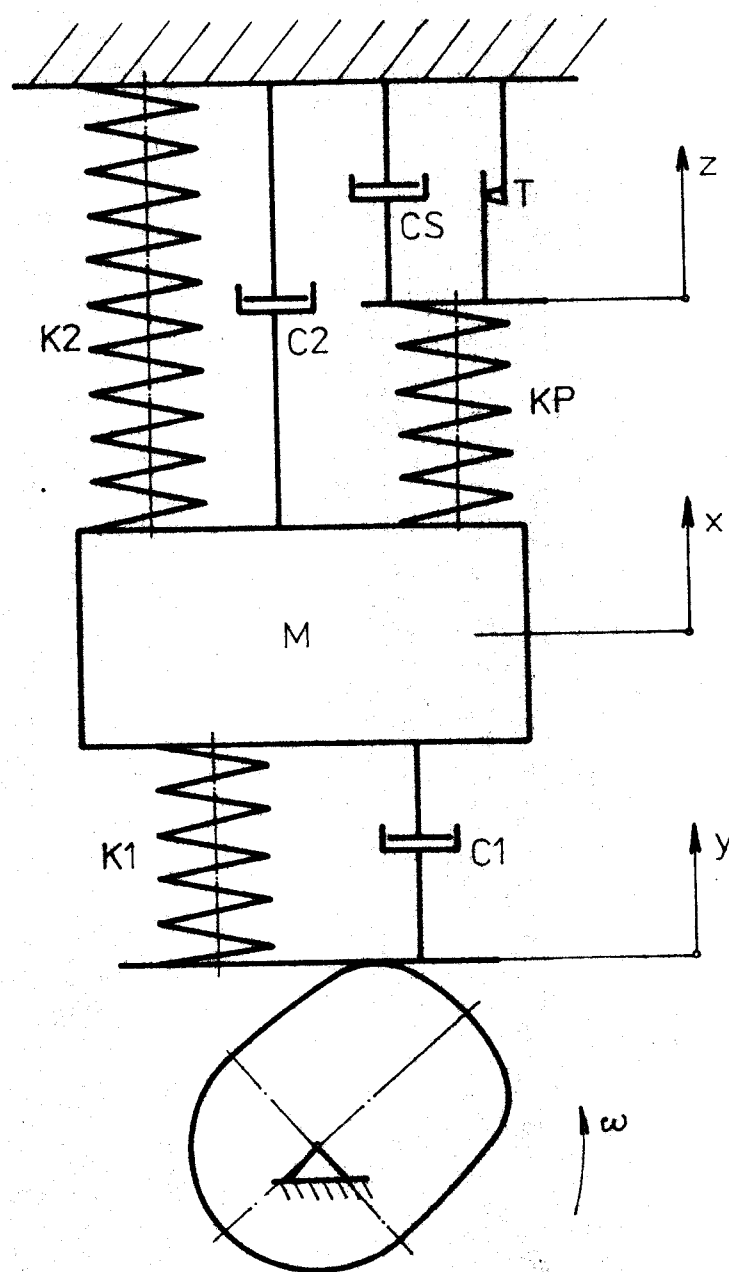
#### Náhrada vstříkovací jednotky čistě mechanickým modelem.

U tohoto způsobu nastává problém, jak vhodně nahradit vstříkování paliva použitím mechanických prvků. Vstříkování bylo nahrazeno kombinací tří mechanických prvků - pružiny o tuhosti KP, sušého třemí T a tlumiče s tlumením CS. Takto navržený dynamický model platí pro interval úhlu pootočení vačky, které odpovídají počátku a konci vstříkování.

Řešení je uvedeno pro čerpadlo Motorpal PV 6Bg 9P. U tohoto čerpadla dochází k teoretickému počátku dodávky paliva při zdvihu pístku  $h = 3,5$  mm od dolní úvratí. Tomu odpovídá úhel pootočení vačky  $\alpha = 31^\circ 30'$  a rychlosť pístku  $v = 1,44732 \text{ m/s}$ . Teoreticky konec dodávky paliva je určen natočením pístku ve válci pomocí regulační tyče.

#### Popis dynamického modelu:

Vačka působí na pohybující se hmotnosti  $M$  prostřednictvím pružiny o tuhosti  $K_1$  a tlumení  $C_1$ . Souřadnice zdvihu vačky je označena  $y$  a obecně nemí shodná se souřadnicí zdvihu pohybujících se hmot  $x$ . Vzhledem k vysoké hodnotě tuhosti pružiny  $K_1$ , která je



obr.19 Dynamicky model

určena tuhostí pístku, zvedátka s kladičkou a ohybovou tuhostí vačkového hřídele, je rozdíl souřadnic  $x$  a  $y$  zanedbatelný, ale je nutný pro výpočet síly působící mezi vačkou a kladičkou v ose pístku. Velikost této síly je dána vztahem:

$$F_h = K_1(y-x) + C_1(\dot{y}-\dot{x})$$

Z druhé strany působí na pohybující se hmotnosti síla vratné pružiny o tuhosti  $K_2$  a tlumení  $C_2$ , které je určeno tlumením vratné pružiny a tlumením pohybujících se hmot ve vedení. Ve stejném smyslu působí i síla způsobená tlakem paliva nad pístkem. Velikost této tlakové síly je určena pružinou o tuhosti  $K_P$ , tlumením  $C_S$  a suchým třením  $T$ . *Ačkoliv*

#### Popis náhradního vstřikování:

Od teoretického počátku dodávky paliva roste souřadnice  $y$ , která ovlivní souřadnici  $x$ . Dochází k pohybu hmot  $M$ . Síla v pružině o tuhosti  $K_P$  má velikost

$$F_p = K_P(x-z)$$

Protože z opačné strany pružiny o tuhosti  $K_P$  působí suché tření  $T$  a síla  $F_p$  roste od nulové hodnoty, nebude zpočátku docházet k pohybu souřadnice  $z$ .

Při dalším pohybu hmot  $M$  nastane stav, kdy platí

$$F_p = K_P(x-z) = T$$

Tento okamžik nahrazuje stav, kdy dochází k nadzvednutí kuželky výtlacného ventilu působením síly od tlaku paliva. Od tohoto okamžiku dochází k výstřiku paliva.

Při dalším pohybu hmoty  $M$  vlivem pootočení vačky dochází k pohybu souřadnice  $z$ . Tlaková síla je pak dána vztahem

$$F_p = K_P(x-z) = T + C_S \dot{z}$$

Ze vztahu je zřejmé, že tlaková síla působící na pístek závisí na rychlosti pohybu souřadnice  $z$ , tedy i na rychlosti pohybu pístku. Ukončení vstřikování je dán úhlem pootočení vačky, při

měří dochází k odkrytí přepouštěcího otvoru pláštěm pístku.  
V tento okamžik tlak nad pístkem prudce poklesne a dojde k uzavření výtlacného ventilu.

### 3.2 Matematický popis dynamického modelu

Dynamický model popisuje pohybová rovnice:

$$M\ddot{x} = -K_2 \cdot x - C_2 \cdot \dot{x} + F_h - F_p - PZ$$

$$F_h = K_1(y-x) + C_1(\dot{y}-\dot{x})$$

$$F_p = KP(x-z)$$

a rovnice rovnováhy:

$$F_p = KP(x-z) = T + CS \cdot \dot{z}$$

pro případ, kdy dochází k pohybu souřadnice z

$$F_p = KP(x-z) \leq T$$

pro případ, kdy nedochází k pohybu souřadnice z

Pro řešení diferenciálních rovnic na počítači numerickou metodou Runge - Kutta je nutno rovnice upravit na tvar:

$$\frac{dy_i}{dx} = f_i(x, y_1, y_2, \dots, y_n), i = 1, \dots, n$$

s počátečními podmínkami  $y_{i(x=x_0)} = y_{i0}$

Dynamický model bude popsán soustavou tří diferenciálních rovnic. Přitom musíme rozlišit dva pohybové stavy dynamického modelu:

1. stav, kdy nedochází k pohybu souřadnice z, tzn., že síla v pružině o tuhosti KP je menší než třetí síla T. V tomto případě dynamický model popisuje diferenciální rovnice:

$$M\ddot{x} = -K_2 \cdot x - C_2 \cdot \dot{x} + K_1(y-x) + C_1(\dot{y}-\dot{x}) - KP(x-z) - PZ$$

a rovnice rovnováhy:

$$F_p = KP(x-z)$$

Protože numerickou metodu lze použít pro výpočet diferenciálních rovnic 1. řádu, musíme pohybovou rovnici zavedením substituce rozepsat na dvě diferenciální rovnice:

$$M\ddot{v} = -K_2 \cdot x - C_2 \cdot \dot{v} + K_1(y-x) + C_1(\dot{y}-\dot{v}) - KP(x-z) - PZ$$

$$\dot{x} = v$$

Po úpravě diferenciálních rovnic a s využitím vztahu:

$$v = \omega \cdot \frac{dx}{d\alpha}$$

dostaneme tuto soustavu diferenciálních rovnic:

$$\left\{ \begin{array}{l} \frac{dv}{d\alpha} = -\frac{C_1 + C_2}{M \cdot \omega} \cdot v - \frac{K_1 + K_2 + K_P}{M \cdot \omega} \cdot x + \frac{K_1}{M \cdot \omega} \cdot y(\alpha) + \frac{C_1}{M \cdot \omega} \cdot \dot{y}(\alpha) + \frac{K_P}{M \cdot \omega} \cdot z - \frac{PZ}{M \cdot \omega} \\ \frac{dx}{d\alpha} = \frac{1}{\omega} \cdot v \\ \frac{dz}{d\alpha} = 0 \end{array} \right\} \quad (7)$$

2. stav, kdy dochází k pohybu souřadnice  $z$ , tzn., že síla v pružině o tuhosti  $K_P$  je dána vztahem:

$$F_p = K_P(x-z) = T + CS \cdot \dot{z}$$

Pohybová rovnice má stejný tvar jako v předešlém případě:

$$M \ddot{x} = -K_2 \cdot x - C_2 \cdot \dot{x} + K_1(y-x) + C_1(\dot{y}-\dot{x}) - K_P(x-z) - PZ$$

Po úpravě diferenciální rovnice a rovnice rovnováhy s využitím vztahu:  $v = \omega \cdot \frac{dx}{d\alpha}$

dostaneme tuto soustavu diferenciálních rovnic:

$$\left\{ \begin{array}{l} \frac{dv}{d\alpha} = -\frac{C_1 + C_2}{M \cdot \omega} \cdot v - \frac{K_1 + K_2 + K_P}{M \cdot \omega} \cdot x + \frac{K_1}{M \cdot \omega} \cdot y(\alpha) + \frac{C_1}{M \cdot \omega} \cdot \dot{y}(\alpha) + \frac{K_P}{M \cdot \omega} \cdot z - \frac{PZ}{M \cdot \omega} \\ \frac{dx}{d\alpha} = \frac{1}{\omega} \cdot v \\ \frac{dz}{d\alpha} = -\frac{K_P}{CS \cdot \omega} \cdot z + \frac{K_P}{CS \cdot \omega} \cdot x - \frac{T}{CS \cdot \omega} \end{array} \right\} \quad (8)$$

### Stanovení počátečních podmínek:

Teoretický počátek dodávky paliva začíná při zdvihu  $h = 3,5$  mm,

čemuž odpovídá úhel pootočení vačky  $\alpha = 31,5^\circ$ .

$$v(\alpha = 31,5^\circ) = 1,44732 \text{ ms}^{-1}$$

$$x(\alpha = 31,5^\circ) = 3,51862 \cdot 10^{-3} \text{ m}$$

$$z(\alpha = 31,5^\circ) = 0$$

### 3.3 Výpočet tuhostí pružin a tlumení.

#### 3.3.1 Výpočet tuhosti Kl

Tuhosť Kl je dána tuhostí pístku, zvedátku, kladičky a ohybovou tuhostí vačkového hřídele. Tuhost pístku vypočteme dle vzorce

$$k_p = \frac{1}{\sum_{i=1}^n \frac{1}{k_i}}$$

$k_i$  - tuhost i-té části pístku

n - počet těchto částí

$$k_i = \frac{\pi \cdot E \cdot d_i^2}{4l_i}$$

E - modul pružnosti

$S_i$  - plocha elementu

$l_i$  - délka elementu

Písteč rozdělíme na čtyři části.

tab.2

i	$d_i$ [mm]	$l_i$ [mm]	$k_i$ [ $\text{Nm}^{-1}$ ]
1	9,0	10,5	$1,27 \cdot 10^9$
2	6,8	4,0	$1,91 \cdot 10^9$
3	9,0	38,5	$0,347 \cdot 10^9$
4	7,0	29,0	$0,279 \cdot 10^9$

$$k_p = 128 \cdot 10^6 \text{ Nm}^{-1}$$

Tuhosť zvedátku je značná, můžeme ho považovat za dokonale tuhé těleso. Relativně malá je ovšem tuhosť dotyku kladičky s vačkou. Tuto tuhosť lze pouze odhadnout  $k_d = 9,4 \cdot 10^6 \text{ Nm}^{-1}$ .

Ohybovou tuhosť  $k_v$  vačkového hřídele spočítáme ze vzorce

$$k_v = \frac{48 \cdot E \cdot J}{l^3}$$

J - kvadratický moment průřezu hřídele [ $\text{m}^4$ ]

l - vzdálenost mezi ložiskem a kluznou podporou hřídele [m]

$$k_v = 247 \cdot 10^6 \text{ Nm}^{-1}$$

Pro tuhosť Kl platí vztah:

$$Kl = \frac{1}{\frac{1}{k_p} + \frac{1}{k_d} + \frac{1}{k_v}}$$

$$Kl = 8,5 \cdot 10^6 \text{ Nm}^{-1}$$

### 3.3.2 Výpočet tuhosti pružiny K2

Tuto tuhost lze spočítat podle vzorce

$$K_2 = \frac{G \cdot d^4}{8D^3 \cdot z}$$

G - modul pružnosti ve smyku [Nm<sup>2</sup>]

d - průměr drátu pružiny [m]

D - střední průměr pružiny [m]

z - počet činných závitů

Tento vzorec platí pouze pro hustě vinutou šroubovitou válcovou pružinu. Vzorec byl odvozen za předpokladu namáhání pružiny pouze krutem. Ve skutečnosti je pružina namáhána ještě ohybem a smykem.

Výhodnější je provést změření tuhosti pružiny pomocí siloměru s číselníkovým úchylkoměrem při vyvzování síly hydraulickým lisem. V tomto případě je nejdříve nutno ocejchovat siloměr, tzn. zjistit závislost deformace siloměru /odečítáme na číselníkovém úchylkoměru/ na známém zatížení siloměru vyvzované závažími. V tabulce /3/ jsou uvedeny tyto hodnoty.

tab.3

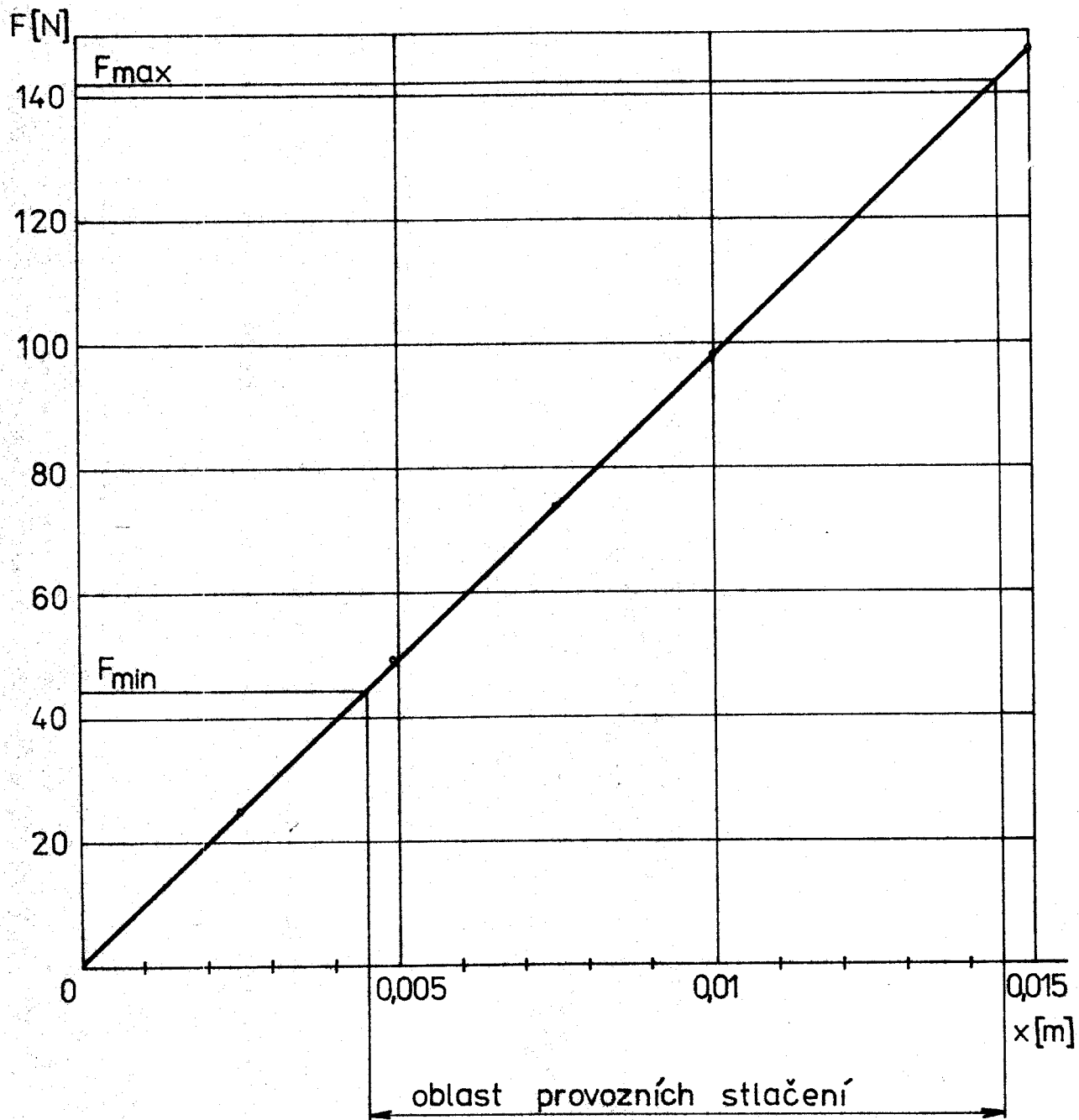
zatížení siloměru Q [N]	deformace siloměru d [mm]
49,05	0,049
98,1	0,099
147,15	0,150
196,2	0,200
245,25	0,251

Tato závislost je approximována přímkou o rovnici

$$Q = 0,7947 + 975,94 \cdot d \quad (9)$$

s korelačním koeficientem r = 0,99998.

Dále postupujeme tak, že pružinu vložíme mezi siloměr a hydraulický lis a silou vyvzenou tímto lisem způsobíme deformaci pružiny i siloměru.



obr.20 Charakteristika vratné pružiny

Z deformace siloměru vypočteme dle rovnice (9) velikost působící síly na pružinu.

tab.4

Stlačení pružiny x [m]	deformace siloměru d [mm]	zátěžná síla Q [N]
0	0	0
$2,5 \cdot 10^{-3}$	0,025	25,19
$4,9 \cdot 10^{-3}$	0,050	49,59
$7,5 \cdot 10^{-3}$	0,075	73,99
0,010	0,100	98,39
0,015	0,150	147,18

Závislost zátěžné síly na stlačení pružiny je approximována přímkou o rovnici

$$Q = 0,6618 + 9783,7 \cdot x$$

s korelačním koeficientem  $r = 0,99995$

Z toho plyne, že charakteristika pružiny je lineární s tuhostí  $K_2 = 9784 \text{ Nm}^{-1}$

Charakteristika pružiny je uvedena na obr. /20/

### 3.3.3 Výpočet hmotnosti pohybujících se hmot M

Mezi pohybující se hmotnosti patří zvedátko s kladičkou, pís-tek, talířová podložka, opěrná podložka a část vratné pružiny.

Vážením byly zjištěny tyto hmotnosti:

Zvedátko s kladičkou ...  $m_1 = 178,5 \text{ g}$

Pístek .....  $m_2 = 35,5 \text{ g}$

Talířová podložka .....  $m_3 = 14,5 \text{ g}$

Opěrná podložka .....  $m_4 = 8,5 \text{ g}$

Vratná pružina .....  $m_5 = 43,0 \text{ g}$

Při respektování hmoty vratné pružiny redukujeme její hmotnost na pohybující se konec pružiny. Velikost redukované hmotnosti činí  $1/3$  celkové hmotnosti pružiny.

Celkovou hmotnost pohybujících se hmot vypočteme tedy ze vztahu:

$$M = m_1 + m_2 + m_3 + m_4 + \frac{m_5}{3}$$

$$M = 251,3 \text{ g}$$

### 3.3.4 Výpočet tlumení C1, C2

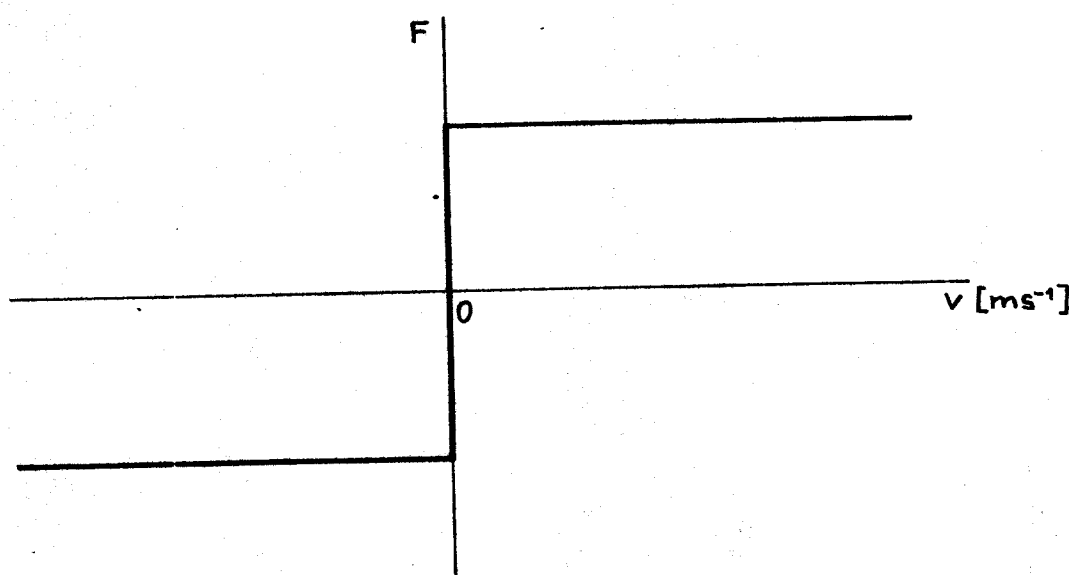
Tlumení C1 představuje vazké tlumení dané tlumením pružnosti o tuhosti K1, představuje tedy vnitřní tření.

Tlumení C2 je dáno tlumením vratné pružiny o tuhosti K2 a brzdícími silami ve vedení zvedátka a pistku.

Tlumící síly zavádíme proto, abychom uvedli analytické řešení v soulad se skutečnými podmínkami. Tyto síly mohou vzniknout z několika příčin, jako je suché tření, tření mezi mazanými povrchy, vnitřní tření dané vlastnostmi materiálu.

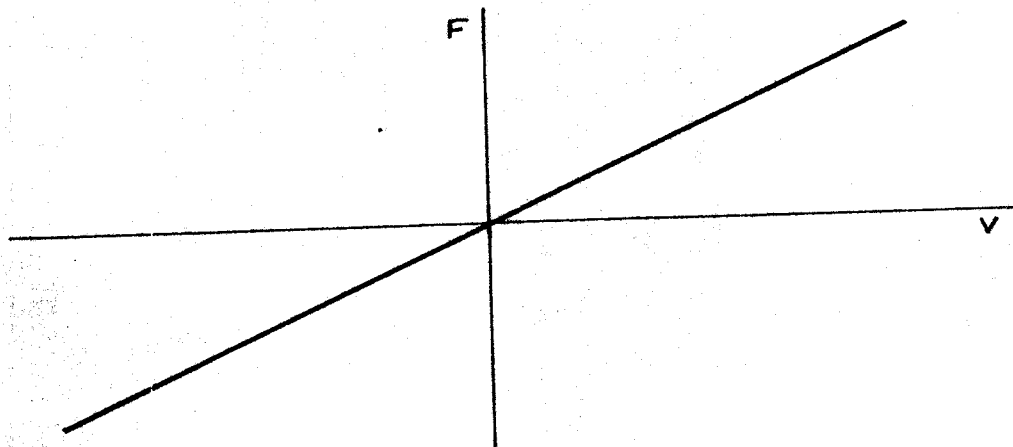
Pro případ suchého tření platí Coulombův zákon:  $F = \mu \cdot N$ .

Charakteristika suchého tření je nakreslena na obr. /21/



obr.21

V případě tření mezi mazanými povrchy závisí třecí síla na vazkosti maziva a na rychlosti pohybu. Toto tření ve výpočtech nahrazujeme tlumičem, jehož charakteristika je nakreslena na obr. /22/



obr.22

Analytické řešení kmitání se velmi zjednoduší, jsou-li tlumící sily úměrné rychlosti. Z tohoto důvodu jsou tlumící sily se složitými průběhy nahrazovány ekvivalentním vazkým tlumením.  
Volba součinitelů vazkého tlumení:

$$C_1 = 10 \text{ Nms}^{\frac{1}{2}}$$

$$C_2 = 100 \text{ Nms}^{\frac{1}{2}}$$

### 3.3.5 Výpočet konstant charakterizujících vstřikování paliva.

#### Výpočet třecí sily T.

Je to síla, která působí proti pohybu pístku v průběhu vstřikování. Ze změřeného průběhu tlaku za čerpadlem zjistíme, že maximální hodnota tohoto tlaku se pohybuje kolem 60 MPa. Z toho snadno vypočteme velikost síly působící na čelo pístku.

Po číselném vyjádření dostáváme pro hodnotu  $T = 3800 \text{ N}$ .

### Výpočet tuhosti KP.

Velikost této tuhosti zahrnuje v sobě vlastnosti paliva a vlastnosti vysokotlaké části vstřikovacího čerpadla. Při teoretickém počátku dodávky paliva je výška sloupce kapaliny nad pístkem 7,5 mm. Při dalším pohybu pístku je tento objem paliva stlačován až do okamžiku otevření výtlačného ventilu. Sloupec kapaliny představuje pružinu o tuhosti KP.

$$KP = \frac{\epsilon \cdot S}{l}$$

$\epsilon$  - modul pružnosti paliva [MPa]

Při výpočtech uvažujeme hodnotu modulu pružnosti konstantní

$\epsilon = 1,7 \cdot 10^3$  MPa, což odpovídá tlaku 22 MPa. Vzhledem k tomu, že velikost modulu pružnosti s rostoucí teplotou klesá a s rostoucím tlakem stoupá.

Po číselném vyjádření dostáváme pro hodnotu KP =  $14,4 \cdot 10^6$  Nm<sup>-1</sup>.

Z toho lze vypočítat velikost zdvihu od teoretického počátku dodávky paliva do okamžiku, kdy dojde k otevření výtlačného ventilu.

$$x = \frac{T}{KP} = 0,264 \text{ mm}$$

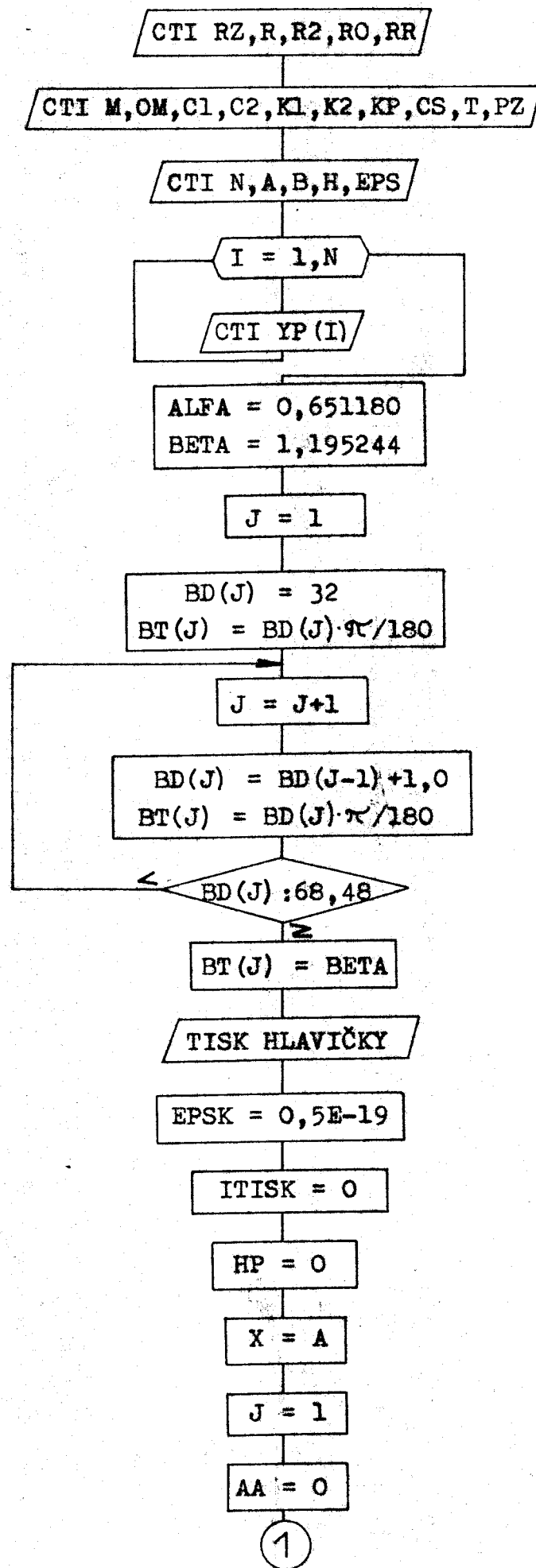
### Výpočet součinitel vazkého tlumení CS.

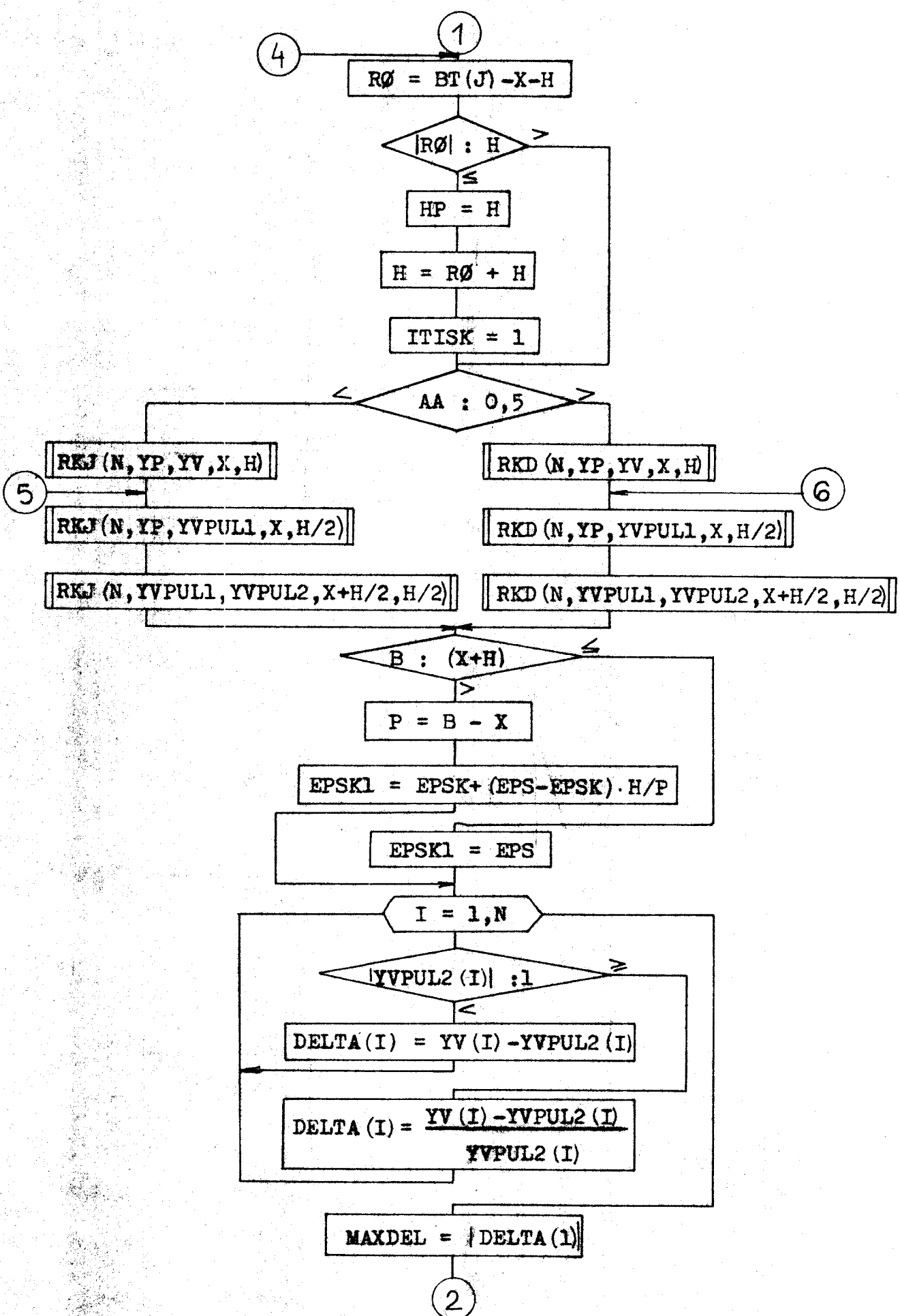
Tento součinitel vyjadřuje skutečnost, že tlak nad pístkem, tedy i síla působící na pístek, s rostoucí rychlostí pohybu pístku roste. Velikost součinitela CS byla odhadnuta na 50 Nms .

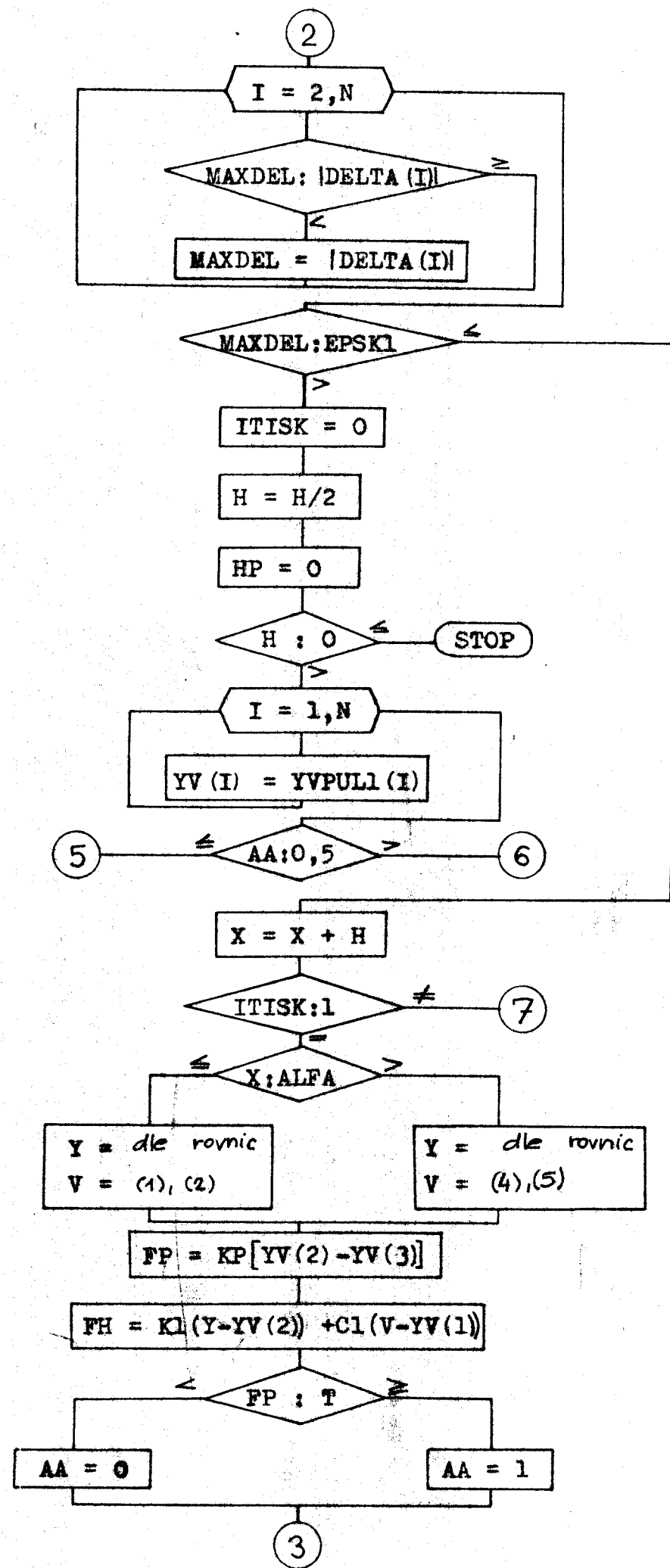
Program řešící dynamický model vstřikovací jednotky umožňuje změnu všech hodnot tuhostí, tlumení i hmotnosti a tím umožňuje volbu konstant tak, aby se početní řešení uvedlo v soulad se skutečným průběhem sledovaných veličin.

Přestože výpočet není zcela přesný a nezachycuje vliv všech veličin, které mají vliv na průběh dynamických veličin, slouží pro přibližné a rychlé určení průběhu dynamických veličin pro různá uspořádání vstřikovací jednotky.

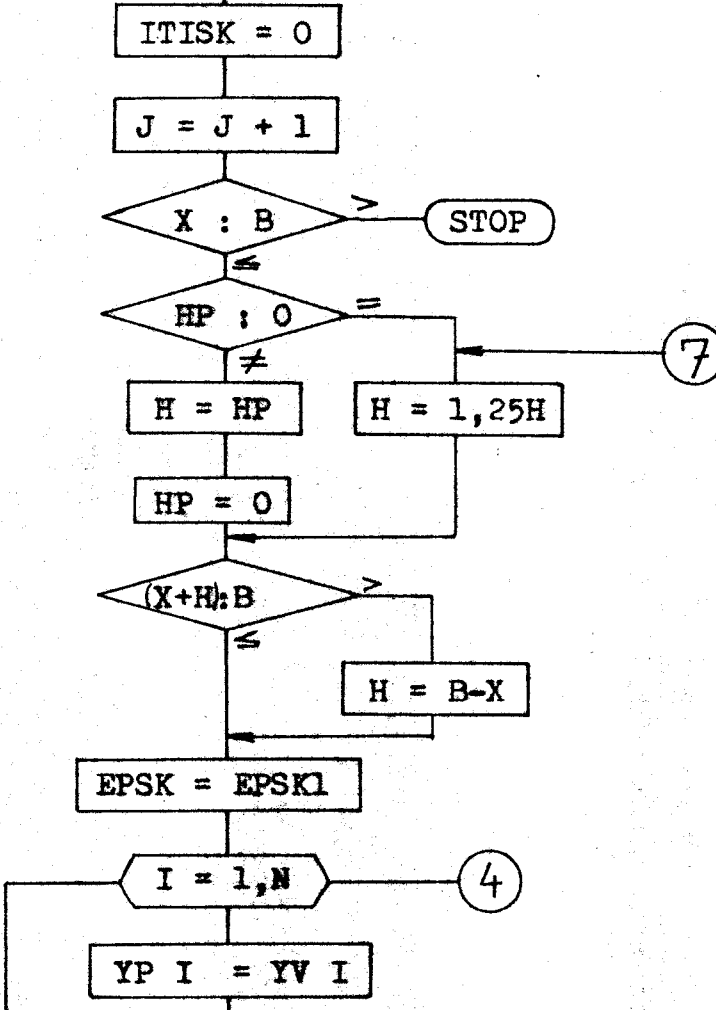
obr.23 Vývojový diagram pro dynamický model



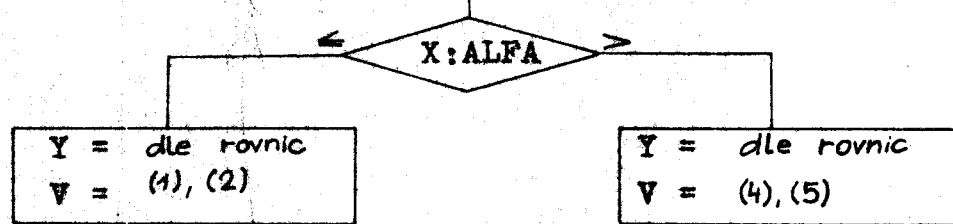




3  
TISK EPSK1,X,Y,YV(2),YV(1),YV(3),FP,FH

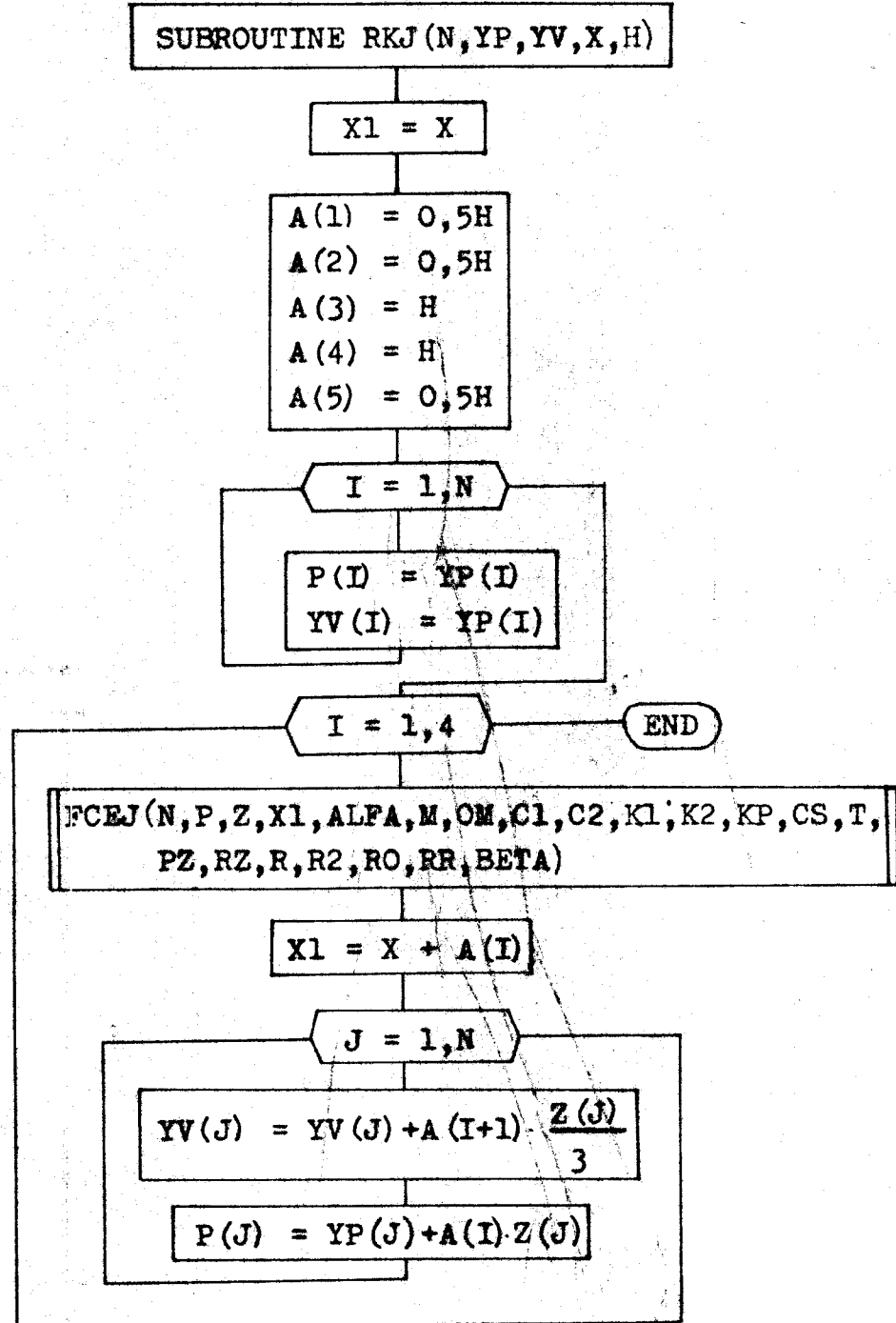


SUBROUTINE FCEJ(N,YP,YV,X,ALFA,M,OM,C1,C2,K1,K2,KP,  
CS,T,PZ,RZ,R,R2,R0,RR,BETA)



YV(1) =	V podprogramu FCEJ počítáme funkční hodnoty soustavy diferenciálních rovnic (7)
YV(2) =	
YV(3) =	V podprogramu FCED počítáme funkční hodnoty soustavy diferenciálních rovnic (8)

END



Podprogram RKD je shodný s podprogramem RKJ až na to, že RKD volá podprogram FCED, který slouží k výpočtu funkčních hodnot  $YV(1)$ ,  $YV(2)$ ,  $YV(3)$  soustavy diferenciálních rovnic.

#### 4. Namáhání hlavních dílů soustavy.

##### 4.1 Namáhání uzlu vačka - kladiceka.

V místě dotyku se vytvoří malá dotyková ploška /úzký obdélník/, v níž je tlak rozdelen nerovnoměrně. Největší tlak je na přímce teoretického styku. Tlak na ploše vyvolá v okolí dotykové plošky v kladice i vačce víceosou napjatost a místní špičku napětí. Špičku napětí vypočteme ze vztahu

$$P_H = \sqrt{0,35 \cdot \frac{F_n}{b} \cdot \frac{\frac{1}{r_1} + \frac{1}{r_2}}{\frac{1}{E_1} + \frac{1}{E_2}}}$$

$F_n$  - síla působící na společné normále oblouků v teoretickém místě dotyku

b - šířka kladiceky

$r_1, r_2$  - poloměry v místě dotyku

$E_{1,2}$  - moduly pružnosti materiálu

Po určitém počtu cyklů dochází k únavovým jevům v povrchových vrstvách. Účinkem střídavé deformace vznikají v blízkosti povrchu mikroskopické trhlinky, které pronikají na povrch těles a vedou k vylamování malých objemů kovu a tvoření dolíček na činných plochách, tzv. pitting.

Hertzův tlak ve styčných plochách by neměl překročit hodnotu 980 MPa. Závislost Hertzova tlaku ve styku na pootočení vačky je uvedena na obr. /27/

##### 4.2 Namáhání vačkového hřídele.

Vačkový hřídel je nejvíce namáhanou součástí vstřikovacího čerpadla. Působí na něj síly přenášené vačkou na zvedátko prostřednictvím kladiceky. Tyto síly namáhají vačkový hřídel na ohyb a krut. Průběh těchto sil je časově proměnný, proto se hřídel počítá na únavu. Časová proměnnost sil rovněž způsobuje torzní a ohybové kmitání.

Torzní kmitání vačkového hřídele vzniká působením proměnlivého

točivého momentu. Vačkový hřídel má několik druhů vlastního torzního kmitání, které se od sebe liší počtem uzelů. Každému druhu přísluší určitá vlastní frekvence a deformační křivka, jež udává velikost amplitut. V okamžiku, kdy se frekvence vnější deformační síly vyrovná s některou frekvencí vlastního kmitání, nastane rezonance. Otáčky hřídele, kdy dojde k rezonanci nazýváme kritické. Pro výpočet kritických otáček se hřídel nahradí ekvivalentní soustavou. Provozní otáčky hřídele nesmí být v blízkosti kritických otáček způsobených některou významnou harmonickou složkou točivého momentu, jinak hrozí nebezpečí rozkmitání hřídele a jeho prasknutí.

Ohybové kmitání vyvolává periodicky proměnlivé ohybové pružné deformace hřídele. Pro zmírnění ohybového kmitání slouží kluzná podpora mezi ložisky.

Vačkový hřídel se musí vyznačovat velkou tuhostí v ohybu a krutu.

#### 4.3 Namáhání čepu kladíčky.

Na čep působí síla od vratné pružiny, setrvačné síly, síla od tlaku paliva a třecí síly ve vedení.

Měrný tlak v oporách čepu je

$$P_o = \frac{F}{d(L-l)}$$

Měrný tlak v pouzadru kladíčky je

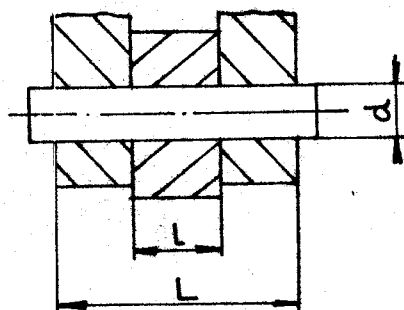
$$P_p = \frac{F}{d \cdot l}$$

Smykové napětí je

$$\sigma = \frac{2F}{\pi \cdot d^2}$$

Ohybové napětí je

$$\sigma = \frac{F(L+l)}{8W_0}$$



obr.24

#### 4.4 Namáhání zvedátka.

Zvedátko zachycuje složku síly kolmou na jeho vedení.

Měrný tlak ve vedení je

$$P_z = \frac{2F}{D \cdot l} \cdot \frac{3a + l}{l}$$

$l$  - délka vedení [m]

$D$  - průměr vedení zvedátka [m]

$a$  - vzdálenost středu kladíčky od spodního okraje vedení [m]

#### 4.5 Namáhání vratné pružiny.

Ve šroubovové pružině vzniká maximální tečné napětí

$$\tau = \frac{8F_p \cdot D}{\pi d^3} \cdot k_s$$

$F_p$  - maximální síla v pružině [N]

$D$  - střední průměr pružiny [mm]

$d$  - průměr drátu pružiny [mm]

$k_s$  - opravný součinitel na zakřivení drátu

$$k_s = \frac{4m - 1}{4m + 4} + \frac{0,615}{m} \quad m = \frac{D}{d}$$

$$\tau = 314,7 \text{ MPa}$$

Maximální tečné napětí je menší než dovolené, které činí u pružinové oceli 340 až 590 MPa.

Vlastní kmity pružiny vypočteme ze vztahu:

$$\Omega_{\alpha} = \frac{\alpha \cdot d \cdot \sqrt{2G}}{2 \cdot i \cdot D^2 \cdot \rho}$$

$\alpha = 1, 2, 3, \dots$

$\rho$  - hustota pružinového drátu

i - počet činných závitů

Vypočtené vlastní frekvence:

$$\Omega_1 = 1302,5 \text{ s}^{-1}, \Omega_2 = 2605 \text{ s}^{-1}, \Omega_3 = 3907,5 \text{ s}^{-1}, \Omega_4 = 5210 \text{ s}^{-1}$$

Veličina  $\alpha$  udává počet uzlů vlastních kmitů pružiny. Rezonance vlastních a budících kmitů nastane, platí-li:

$$\nu \cdot \omega = \Omega_{\alpha}$$

$\nu \cdot \omega$  - kruhová frekvence  $\nu$ -té harmonické složky  
zdvihové závislosti

$\omega$  - úhlová frekvence otáčení hřídele

Praxe vyžaduje, aby v rozmezí  $\nu = 1$  až 11 nedocházelo k rezonancím. U nespojité vačky se považuje osmnáctý řád  $\nu$  ještě za nebezpečný, protože tlumení kmitavého pohybu závitů je nepatrné, takže harmonické složky o velmi malé amplitudě mohou způsobit značné rozkmitání pružiny.

Při otáčkách hřídele  $n = 1000 \text{ min}^{-1}$  je  $\omega = 104,7 \text{ s}^{-1}$ .

Z toho lze spočítat první harmonickou složku, která teoreticky způsobuje rezonanci.

$$\nu_1 = \frac{\Omega_1}{\omega} \doteq 12$$

Uvedený výsledek je v rozporu s výše uvedeným požadavkem, z toho plyne, že pružina plně nevyhovuje požadavkům na ni kladeným.

V praxi však někdy dochází k rozkmitání pružin. Uvedený výpočet vlastních frekvencí pružin je pouze přibližný, neboť předpokládá nekonečně velkou tuhost vačkového hřídele. Vačkový hřídel se však může otáčet nerovnoměrně v důsledku působení torzních kmitů.

### 5. Výpočet hnacího momentu.

Průběh točivého momentu na vačkovém hřídeli slouží pro návrh náhonového systému vstřikovacího čerpadla. Rovněž znalost jeho průběhu je nutná pro výpočet torzního kmitání vačkového hřídele. V tomto případě je nutné provést harmonickou analýzu zjištěného průběhu.

Pro výpočet kroutícího momentu platí vztah

$$M_t = F_n \cdot p$$

$F_n$  - normálová složka síly působící mezi kladičkou  
a vačkou

$p$  -- rameno této síly

Výpočet ramena síly  $p$  a normálné složky síly pro daný případ závisí na úhlu pootočení vačky.

Pro tento úhel v intervalu  $(0, \alpha_M)$  vyjdeme při odvozování vztahu pro  $p$  z obr. /25/

V trojúhelníku ABC platí kosínova věta, po jejíž úpravě dostaneme vztah pro  $\delta$

$$\delta = \arccos \frac{c^2 + a^2 - b^2}{2ac}$$

Pro výpočet normálné složky síly platí vztah

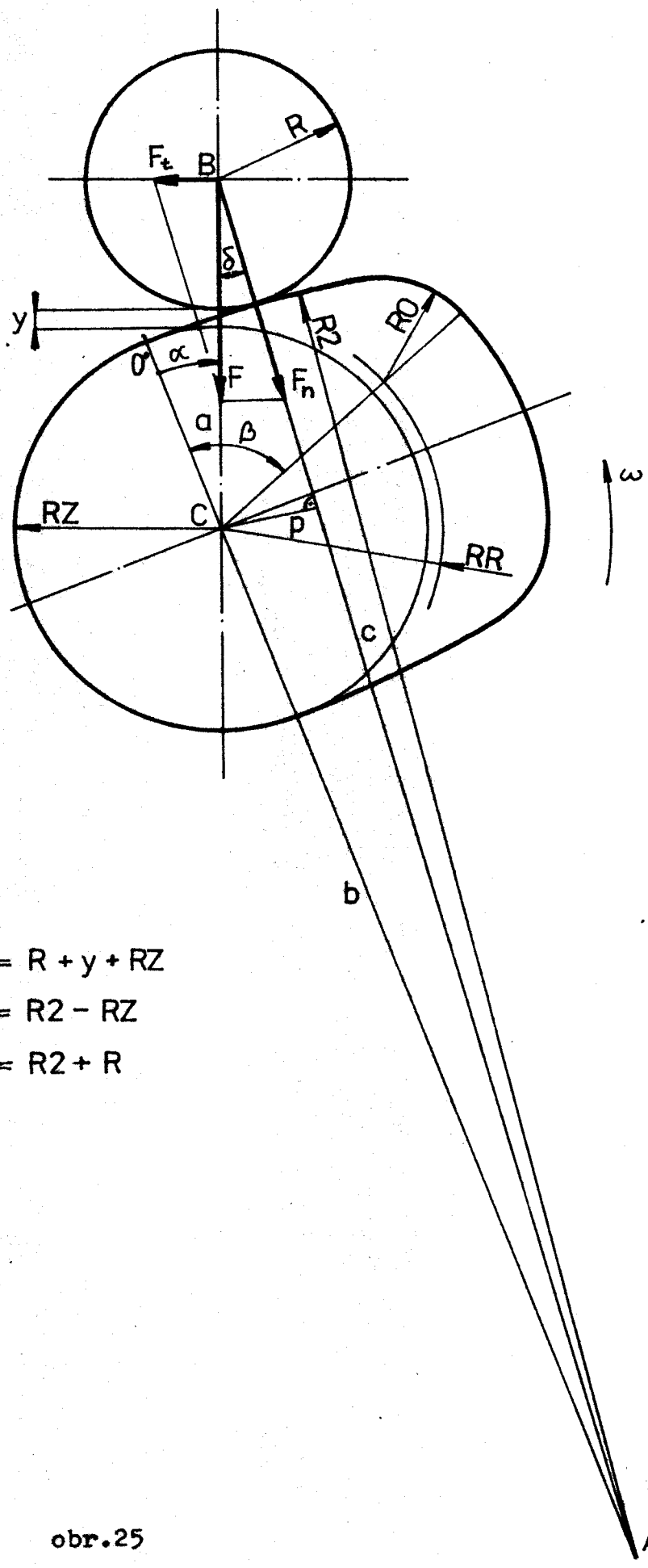
$$F_n = \frac{F}{\cos \delta}$$

Pro výpočet ramena  $p$  platí vztah

$$p = a \cdot \sin \delta$$

Pro výpočet točivého momentu platí vztah

$$M_t = \frac{F}{\cos \delta} \cdot a \cdot \sin \delta = F \cdot a \cdot \operatorname{tg} \delta$$



$$a = R + y + RZ$$

$$b = R_2 - RZ$$

$$c = R_2 + R$$

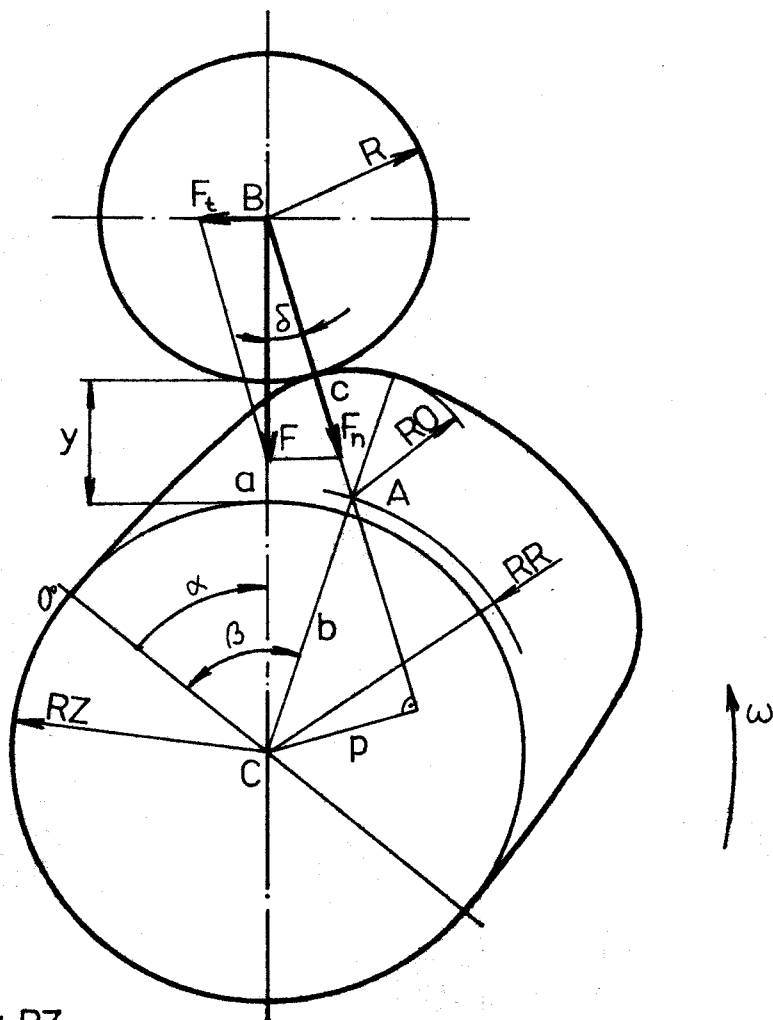
obr.25

Pro úhel pootočení vačky v intervalu  $(\alpha_m, \beta)$  vyjdeme při odvozování vztahů z obr. /26/

V trojúhelníku ABC platí kosínova věta, po jejíž úpravě dostaneme vztah pro výpočet  $\delta$

$$\delta = \arccos \frac{c^2 + a^2 - b^2}{2ac}$$

obr. 26



$$a = R + y + RZ$$

$$b = RR$$

$$c = R + RO$$

Pro výpočet normálné složky síly platí vztah:

$$F_n = \frac{F}{\cos \delta}$$

Pro výpočet ramena platí vztah:

$$p = a \cdot \sin \delta$$

Pro výpočet točivého momentu platí vztah:

$$M_t = \frac{F}{\cos\delta} \cdot a \cdot \sin\delta = F \cdot a \cdot \operatorname{tg}\delta$$

Pro výpočet tečné složky síly, která působí kolmo na vedení zvedátka, platí v obou případech vztah:

$$F_t = F \cdot \operatorname{tg}\delta$$

Tato složka síly způsobuje tlak ve vedení zvedátka a současně způsobuje příčení zvedátka ve vedení.

Průběh normálné složky síly, tečné složky síly a průběh točivého momentu v závislosti na pootočení vačky jsou uvedeny na obr. /27/, /28/.

Vzhledem k tomu, že nebyly k disposici včas výsledky z počítače, jež by sloužily pro výpočet točivého momentu, provedl jsem náhradní výpočet působících sil, ze kterých jsem spočítal průběh točivého momentu a Hertzova tlaku ve styku kladíčky s vačkou.

Uvažoval jsem, že na pohybující se hmotnosti působí síla od pružiny, setrvačné síly a síla od tlaku paliva během vstřikování.

Hodnoty tlaku paliva za čerpadlem jsem odečetl z naměřených průběhů.

Z průběhů vyplývá, že skokové změny ve zrychlení rovněž způsobují skokové změny v průběhu sil, které opět způsobují skokové změny v průběhu točivého momentu a Hertzova tlaku.

Hodnoty dynamických veličin v průběhu vstřikování paliva dosahuji krátkodobě špičkových hodnot.

tab.5 tabulka vypočtených hodnot

$\alpha$	F [N]	$F_h$ [N]	$F_t$ [N]	$M_t$ [Nm]	$p_h$ [MPa]
0	59,2	59,2	0	0	147,6
1	59,3	59,3	1,1	0,022	147,6
2	59,5	59,5	1,5	0,045	147,9
3	59,8	59,9	2,5	0,067	148,3
4	60,3	60,4	3,3	0,091	149,0
5	60,9	61,0	4,1	0,115	149,8
6	61,6	61,8	5,0	0,139	150,7
7	62,5	62,8	5,9	0,166	151,9
8	63,5	63,9	6,8	0,192	153,2
9	64,6	65,1	7,8	0,221	154,7
10	65,9	66,5	8,8	0,251	156,4
11	67,4	68,1	10,0	0,283	158,2
12	68,9	69,8	11,1	0,316	160,2
13	70,6	71,7	12,4	0,354	162,3
14	72,5	73,8	13,7	0,393	164,7
15	74,5	76,0	15,1	0,435	167,1
16	76,7	78,4	16,6	0,479	169,8
17	79,0	81,1	18,2	0,528	172,6
18	81,5	83,9	19,9	0,579	175,5
19	84,1	86,8	21,7	0,635	178,6
20	86,9	90,1	23,7	0,695	181,9
21	89,8	93,4	25,7	0,759	185,3
22	93,0	97,1	28,0	0,829	188,9
23	96,3	100,9	30,3	0,904	192,6
24	99,8	105,0	32,9	0,984	196,5
25	103,4	109,4	35,5	1,071	200,5
26	107,3	114,0	38,4	1,165	204,6
27	111,3	118,8	41,5	1,266	209,0
28	115,6	123,9	44,7	1,374	213,4
29	120,0	129,3	48,2	1,491	218,0
30	124,7	135,1	51,9	1,618	222,8
31	129,6	141,1	55,8	1,754	227,7

$\alpha$	F [N]	$F_n$ [N]	$F_t$ [N]	$M_t$ [Nm]	$P_H$ [MPa]
32	362,9	397,3	161,8	5,120	382,1
33	1131,2	1245,5	521,3	16,624	676,6
34	1708,8	1892,4	813,0	26,139	833,9
35	2286,7	2547,6	1123,1	36,386	967,6
36	2737,4	3068,4	1386,2	45,344	1061,9
37	3442,9	3882,9	1795,4	59,249	1194,6
38	3964,8	4457,0	2036,1	67,802	1819,0
39	4157,4	4637,1	2054,0	69,014	1855,4
40	3713,7	4111,7	1764,7	59,802	1747,1
41	4160,7	4574,1	1900,3	64,913	1842,8
42	4416,9	4822,3	1935,3	66,633	1892,1
43	4227,6	4585,1	1775,1	61,578	1845,0
44	4229,1	4557,8	1699,5	59,381	1839,5
45	4294,1	4600,0	1649,3	58,024	1848,0
46	4422,8	4710,6	1621,2	57,408	1870,1
47	3449,6	3653,9	1204,8	42,910	1647,0
48	799,1	841,9	265,2	9,505	760,9
49	100,6	105,5	31,6	1,140	279,9
50	38,1	39,8	11,3	0,411	171,9
51	39,2	40,7	11,0	0,401	173,8
52	40,3	41,7	10,6	0,389	175,2
53	41,3	42,5	10,2	0,376	177,6
54	42,2	43,3	9,8	0,361	179,3
55	43,1	44,1	9,2	0,343	180,9
56	44,0	44,9	8,7	0,325	182,6
57	44,7	45,4	8,1	0,303	183,6
58	45,5	46,1	7,5	0,283	185,0
59	46,1	46,6	6,9	0,259	186,0
60	46,8	47,2	6,2	0,235	187,2
61	47,3	47,6	5,6	0,210	188,0
62	47,7	47,9	4,9	0,185	188,6
63	48,0	48,2	4,2	0,159	189,2
64	48,4	48,5	3,4	0,133	189,8
65	48,7	48,8	2,6	0,099	190,3

$\alpha$	F [N]	$F_n$ [N]	$F_t$ [N]	$M_t$ [Nm]	$P_H$ [MPa]
66	48,9	48,9	1,8	0,072	190,5
67	49,0	49,0	1,2	0,044	190,7
68	49,1	49,1	0,4	0,014	190,9
68° 28' 56,8"	142		0	0	258,4
111° 31' 3,2"					
112	48,4	48,4	0,8	-0,028	189,6
113	48,3	48,4	1,5	-0,057	189,5
114	48,2	48,2	2,3	-0,086	189,2
115	47,9	48,0	3,0	-0,114	188,9
116	47,6	47,8	3,8	-0,142	188,4
117	47,3	47,5	4,5	-0,168	187,8
118	46,9	47,2	5,2	-0,195	187,1
119	46,4	46,7	5,9	-0,220	186,3
120	45,8	46,3	6,5	-0,244	185,4
121	45,2	45,8	7,2	-0,268	184,4
122	44,6	45,2	7,8	-0,290	183,2
123	43,8	44,6	8,3	-0,310	182,0
124	43,0	43,9	8,9	-0,330	180,6
125	42,2	43,2	9,4	-0,347	179,1
126	41,2	42,4	9,9	-0,363	177,4
127	40,3	41,6	10,3	-0,378	175,6
128	39,2	40,7	10,7	-0,390	173,7
129	38,1	39,7	11,0	-0,401	171,7
130	36,8	38,7	11,3	-0,409	169,4
131	35,8	37,6	11,6	-0,415	167,0
132	34,5	36,4	11,7	-0,420	164,5
133	33,2	35,2	11,9	-0,422	161,7
134	31,8	33,9	11,9	-0,421	158,8
135	30,4	32,6	11,9	-0,418	155,6
136	29,9	32,3	12,2	-0,427	154,9
137	27,4	29,8	11,8	-0,406	148,7
138	25,8	28,3	11,6	-0,396	144,9

$\alpha$	F [N]	$F_n$ [N]	$F_t$ [N]	$M_t$ [Nm]	$P_H$ [MPa]
139	24,2	26,7	11,3	-0,383	140,8
140	22,5	25,0	10,2	-0,368	136,3
141	20,8	23,3	10,1	-0,351	131,6
142	19,1	21,6	10,0	-0,331	126,5
143	195,7	220,0	100,0	-3,305	284,4
144	190,1	212,5	94,8	-3,089	279,4
145	184,8	205,3	89,3	-2,885	274,6
146	179,7	198,4	84,2	-2,695	270,0
147	174,7	191,8	79,2	-2,516	265,5
148	170,0	185,7	74,6	-2,350	261,2
149	165,5	179,8	70,1	-2,194	257,0
150	161,2	174,2	65,9	-2,047	153,0
151	157,1	168,9	62,0	-1,910	249,1
152	153,2	163,8	58,1	-1,781	245,4
153	149,4	159,1	54,5	-1,660	241,8
154	145,8	154,6	51,2	-1,547	238,3
155	142,5	150,4	48,6	-1,441	235,1
156	139,2	146,2	44,8	-1,339	231,8
157	136,2	142,5	41,9	-1,247	228,8
158	133,2	138,6	39,1	-1,156	225,9
159	130,5	135,5	36,5	-1,073	223,2
160	127,9	132,3	33,9	-0,994	220,5
161	125,4	129,3	31,5	-0,919	218,0
162	123,1	126,6	29,4	-0,849	215,7
163	120,9	123,9	27,0	-0,782	213,4
164	118,9	121,5	24,9	-0,718	211,3
165	117,1	119,3	23,0	-0,658	209,4
166	115,3	117,2	21,0	-0,602	207,5
167	113,7	115,3	19,2	-0,547	205,9
168	112,3	113,6	17,4	-0,495	204,3
169	110,9	112,0	15,6	-0,445	202,9
170	109,7	110,6	13,9	-0,397	201,6

$\alpha$	F [N]	$F_n$ [N]	$F_t$ [N]	$M_t$ [Nm]	$p_h$ [MPa]
171	108,6	109,3	12,4	-0,351	200,4
172	107,6	108,2	10,9	-0,306	199,4
173	106,8	107,2	9,3	-0,262	198,5
174	106,1	106,3	7,8	-0,220	197,7
175	105,4	105,6	6,4	-0,179	197,0
176	104,9	105,0	8,0	-0,138	196,5
177	104,6	104,7	3,4	-0,097	196,1
178	104,4	104,4	2,2	-0,057	195,9
179	104,2	104,2	0,6	-0,014	195,7
180 až 360	45,0	45,0	0	0	157,4

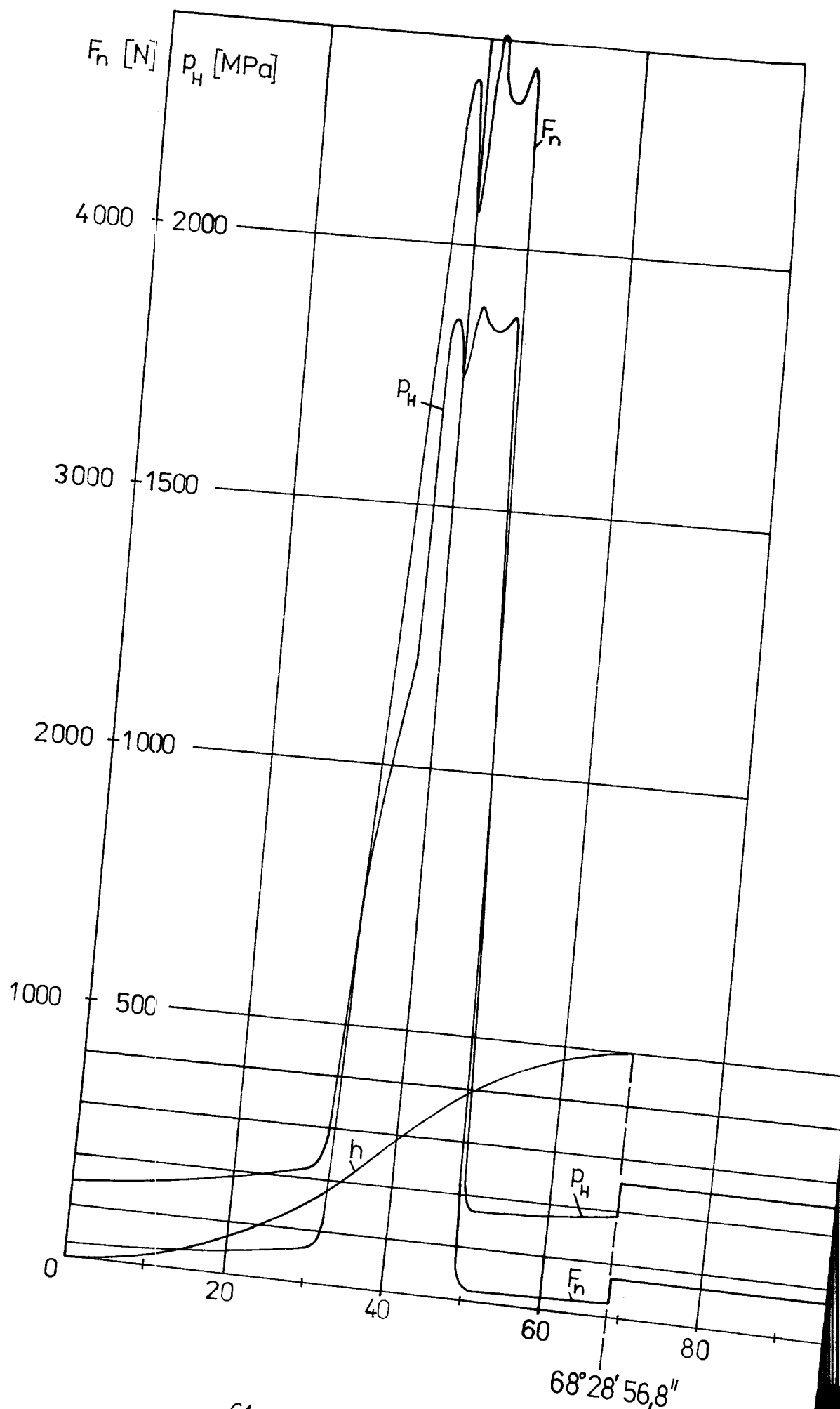
#### 6. Posouzení průběhu dopravní vlny.

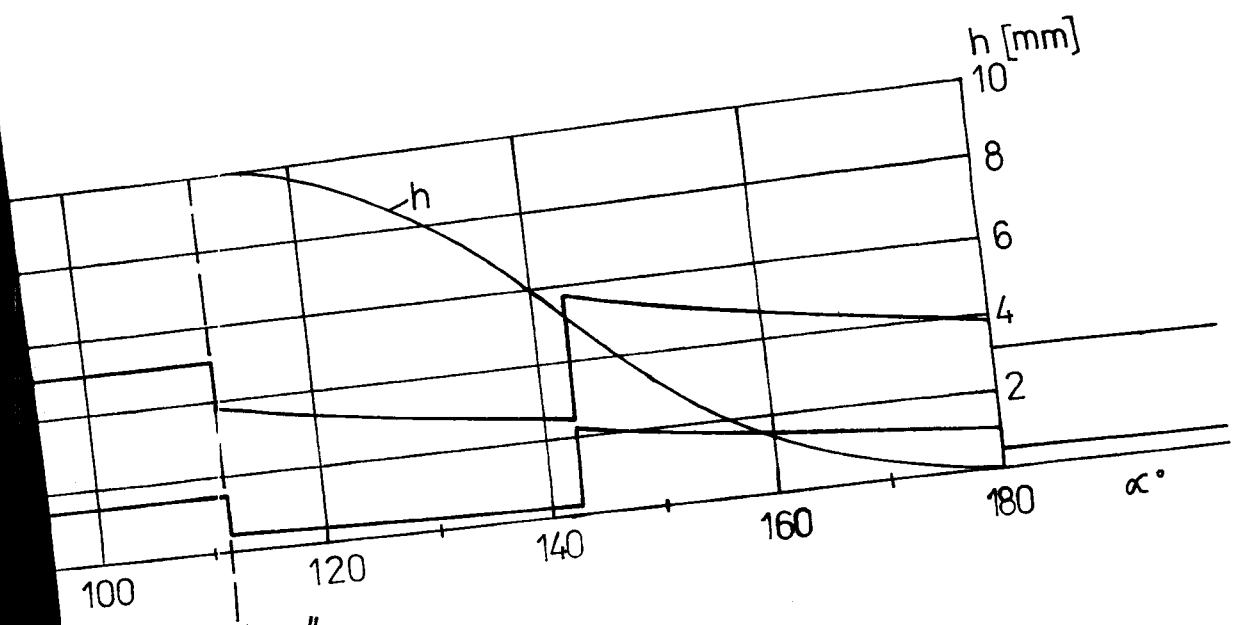
Dopravní vlna je časový průběh rychlosti a tlaku paliva v určitém místě vysokotlaké části vstřikovacího čerpadla.

Dopravní vlna je dána součtem dopředné vlny a zpětné /odražené/ vlny. Průběh dopravní vlny je dán podmínkami na čerpadle které jsou určeny:

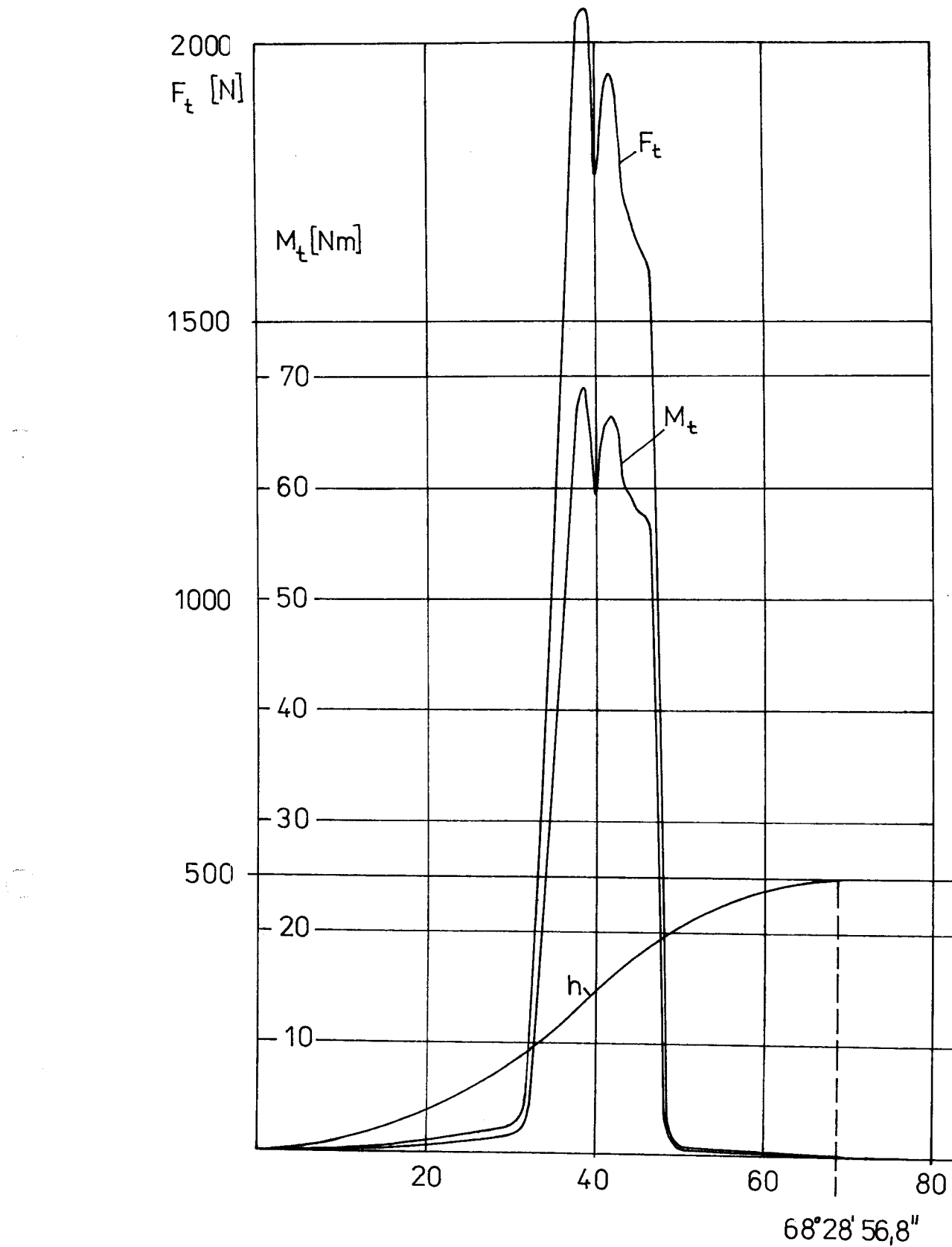
- otáčkami vačkového hřídele
- stoupáním vačky čerpadla
- rychlostí zpětného ventilu
- škrcením na počátku a konci dodávky paliva
- průměrem pistku čerpadla
- objemem pracovního zdvihu čerpadla
- průřezem potrubí
- průtokovými součiniteli

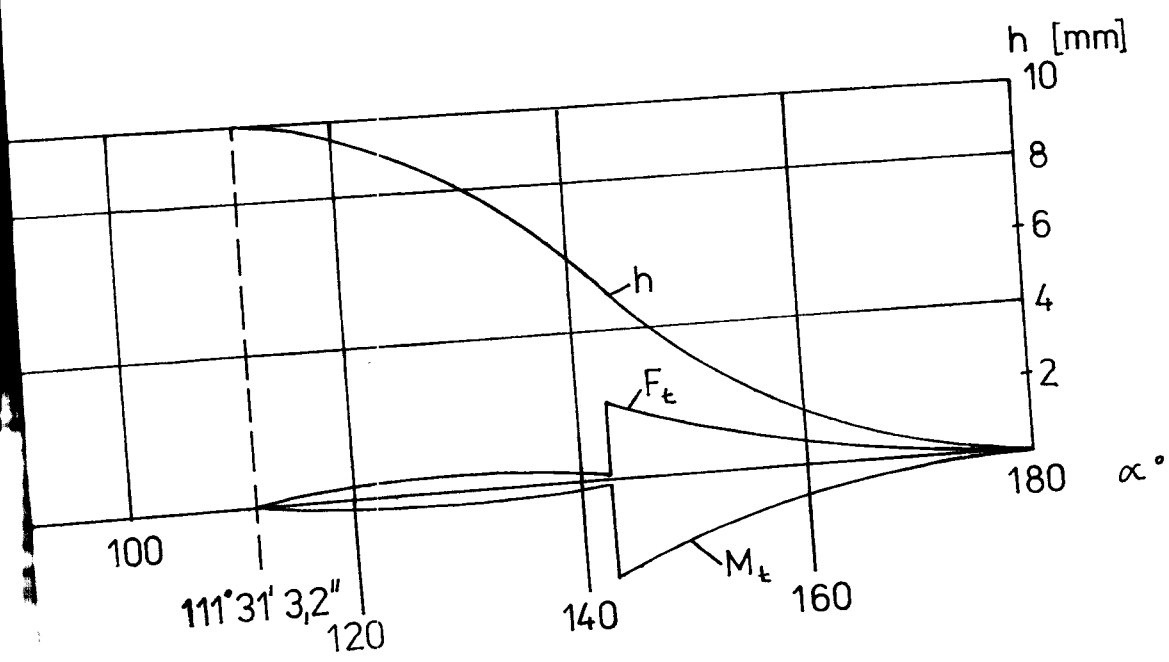
obr. 27





obr. 28





Průběh dopravní vlny nejsnadněji zjistíme indikováním průběhu tlaku na čerpadle. Výpočet dopravní vlny je značně složitý a nemyslitelný bez výpočetní techniky, která umožnuje shrnutí všech podstatných vlivů na průběh vstřikování.

Po dohodě s vedoucím DP nebyla tato část matematicky řešena vzhledem k velké náročnosti tohoto problému. Rovněž sestavení programu pro výpočet dynamického modelu vstřikovací jednotky bylo náročné a naráželo na mnoho problémů. Bez problémů se také neobešlo odlaďování tohoto programu ve výpočetním středisku VŠST, způsobených organizačními potížemi.

## 7. Závěr.

Zvyšování rychlosti vstřikování paliva je možné dvěma způsoby /při stejné vstřikovací trysce/.

### 1/ Zvyšování rychlosti pohybu pístku

Rychlosť pístku určují rozměry vačky a kladíčky a uspořádání mechanizmu.

Rychlosť roste při vyosení zvedátka a kladíčkou v záporném směru o hodnotu  $\epsilon$  /dle obr. ///. Současně s růstem rychlosťi se posouvá vrchol maximální rychlosťi směrem k vyšším hodnotám pootočení vačky, což je z hlediska vstřikování paliva výhodné z důvodu uvedeném v úvodu.

Ke zvýšení maximální rychlosťi dochází také zmenšením poloměru kladíčky. Rovněž v tomto případě dochází k posunu vrcholu maximální rychlosťi k vyšším hodnotám úhlu  $\alpha$ . Při této změně se zvýší hodnoty Hertzova tlaku ve styku kladíčky s vačkou. Zvýšení maximální rychlosťi lze také docílit zvětšením poloměru R2 vačky. Změna rychlosťi je ale nevýrazná. Vrchol maximální rychlosťi se posouvá k nižším hodnotám úhlu  $\alpha$ .

Z uvedených závěrů plyne, že nejvhodnějšího průběhu rychlosťi

dosedíme vyosením zvedátka v záporném směru /dle obr. 14/.

Je třeba mít na paměti, že každé zvýšení rychlosti sebou nutně přináší zvýšení maximálních hodnot zrychlení a tím větší dynamické namáhání vstřikovacího čerpadla.

## 2/ Změna průměru pístku

Zvětšení průměru pístku přináší zvětšení dávky vstřikovaného množství paliva při stejné poloze plnicího a přepouštěcího otvoru a při stejném uspořádání tvaru pístku. Zvětšuje se průtočné množství paliva a při stávající trysce by docházelo ke zvýšení rychlosti vstřikování paliva. Zvětšení průměru pístku způsobí i zvětšení působících tlakových sil na pístek. To se nepříznivě odrazí ve větším mechanickém namáhání dílů čerpadla.

Seznam literatury:

INDRA, J.: Příslušenství spalovacích motorů,  
skripta VÚT Brno, SNTL Praha 1966

LYŠEVSKIJ, A.S.: Sistemi pitanija dizelej,  
Mašinostrojenije, Moskva 1981

Diplomové práce VŠST, SF:

J. Chaloupka, 1970

J. Kračmar, 1973

J. Plachta, 1982

Seznam příloh:

- 1/ program pro výpočet kinematických veličin
- 2/ hodnoty kinematických veličin při stávajícím řešení mechanismu
- 3/ hodnoty kinematických veličin při vyosení zvedátka o hodnotu  $e = 2 \text{ mm}$
- 4/ hodnoty kin. veličin při vyosení zvedátka o hodnotu  $e = -2 \text{ mm}$
- 5/ hodnoty kin. veličin při změně poloměru kladíčky na  $R = 8 \text{ mm}$
- 6/ hodnoty kin. veličin při změně poloměru kladíčky na  $R = 14 \text{ mm}$
- 7/ hodnoty kin. veličin při změně poloměru vačky na  $R_2 = 80 \text{ mm}$
- 8/ hodnoty kin. veličin při změně poloměru vačky na  $R_2 = 140 \text{ mm}$